



LA PALEODEMOGRAFÍA DE LA PENINSULA IBERICA

DESDE EL MUNDO ROMANO AL CENSO DE FLORIDABLANCA

Fionn Ruairí Rodgers
TFM Julio 2013

Dirigido por
Armando González Martín
UAM

Índice

1. Resumen.....	1
2. Introducción.....	1
3. Materiales y Métodos.....	3
4. Resultados.....	5
i) Todas las Muestras.....	5
ii) La Costa.....	7
iii) El Interior.....	9
iv) El Norte.....	11
v) El Sur.....	13
vi) El Este.....	15
vii) El Oeste.....	17
5. Discusión.....	19
6. Referencias.....	24
7. Anexos.....	35

Imagen: Guillaume de Lorris y Jean de Meung, *Le Roman de la Rose*, en un manuscrito hecho para Luisa de Saboya, madre de Francisco I de Francia, siglo XV.

Resumen

El objetivo de este estudio es examinar algunas de las características paleodemográficas de la Península Ibérica desde el mundo romano al Censo de Floridablanca, que se llevó a cabo entre 1785 y 1787. Los datos paleodemográficos utilizados en este estudio fueron obtenidos de 118 yacimientos repartidos por la Península Ibérica, que se categorizan a grandes rasgos en las épocas: Romana, Alto Medieval, Bajo Medieval y Moderna. Los datos fueron analizados para determinar las principales características demográficas de las poblaciones estudiadas.

PARABLAS CLAVE: Paleodemografía, Edad Media, Época Romana, Necrópolis, Restos humanos

Introducción

Cualquier estudio paleodemográfico tiene algunos inconvenientes y limitaciones que son propias del material estudiado, pero ciertos datos demográficos pueden ser obtenidos con el fin de aproximarse a las condiciones de vida de las poblaciones del pasado. Un análisis demográfico se centra en varias dimensiones que caracterizan a una población: estructura, dinámica, densidad, fecundidad, mortalidad y migración. Estos son los factores que dan lugar a un conjunto diverso de influencias biológicas, ambientales y sociales, que reflejan la naturaleza dinámica del concepto de población. El prefijo paleo añade sólo a la dimensión histórica, debido a la naturaleza del material en estudio, a análisis de los parámetros demográficos inherentes a los restos humanos recuperados de necrópolis pasadas (Chamberlain, 2006).

El objetivo de este estudio es examinar algunas de las características paleodemográficas de la Península Ibérica desde el mundo romano al Censo de Floridablanca, que se llevó a cabo entre 1785 y 1787. Los datos paleodemográficos utilizados en este estudio fueron obtenidos de 118 yacimientos repartidos por la Península Ibérica, que se categorizan a grandes rasgos en las épocas Romana, Alto Medieval, Bajo Medieval y Moderna. Los sitios utilizados fueron parte de las intervenciones arqueológicas realizadas sobre; necrópolis, cementerios, iglesias, mezquitas y sinagogas. En los estudios consultados los restos humanos fueron examinados por equipos de antropólogos físicos y arqueólogos que primero determinar el número mínimo de individuos (NMI),

asignado sexo y edad para cada uno de los individuos recuperados. Debido a la naturaleza del esqueleto humano, algunos métodos pueden ser utilizados con el fin de determinar los parámetros tales como el sexo y la edad. Estos factores pueden ser utilizados para hacer inferencias sobre la mortalidad y la fecundidad de las poblaciones del pasado.

Diferentes prácticas religiosas o culturales pueden afectar la condición o el número de restos humanos recuperados; por ejemplo, los restos incinerados presentan desafíos severos en la determinación del sexo y la edad, así como los agentes tafonómicos en el entorno del enterramiento (Barroso Silva da Cruz, 2011). Esto es particularmente cierto para los niños, que son más susceptibles a los efectos tafonómicos que los esqueletos adultos. Los dientes son particularmente duraderos en comparación con otras partes del esqueleto y son, por lo tanto, muy importantes en la asignación de parámetros demográficos (Folkens & White, 2005). La erupción de los dientes sigue un patrón regular que puede ser muy valioso en la determinación de la edad de subadultos. La tasa de fusión de las epífisis de los huesos largos también puede ser una alternativa en la evaluación de la edad, ya que esto se produce en un orden que es conocido en poblaciones actuales. Indicadores para determinar el sexo de los esqueletos adultos incluyen la morfología del cráneo. Con características tales como, el desarrollo de la cresta nuchal, apófisis mastoides, los márgenes supraorbitarios, la glabella y el mentón también ayudan en la determinación del sexo de un individuo. La estructura de la región pélvica también es útil para la identificación, a partir de variables como la anchura y la altura del hueso coxal. Sin embargo, el diagnóstico sexual de las personas cuya muerte se produjo antes del desarrollo de los caracteres sexuales secundarios, que comienza en la pubertad, a menudo es ineficaz (Barroso Silva da Cruz, C., 2011). Si se quiere determinar la edad se presenta esta situación como una simple sólo tiene que encontrar esos restos que no muestran esas características. El alcance de este estudio se ha limitado al estudio de cómo las proporciones de hombres y mujeres y porcentajes de subadultos cambiado con el tiempo. Los sitios examinados en este estudio se presentan en los mapas en los resultados. Los sitios fueron seleccionados con frecuencia para garantizar la mejor distribución posible geográfica y temporal.

Materiales y Métodos

Los datos presentados en este estudio siguen un diseño definido en la sección de resultados, con un mapa de los sitios examinados para cada región. En todos los mapas los círculos coloreados representan los diversos períodos de tiempo, que no necesariamente caen dentro de las definiciones de consenso de estos períodos pero se asignaron de la siguiente manera debido a la naturaleza de los datos. Los círculos rojos significan la época romana aproximadamente el siglo I al siglo V, los círculos verdes representan la Alta Edad Media, el siglo VI al siglo X, los círculos amarillos muestran la Baja Edad Media que abarca los siglos XI al XIV y, finalmente, los círculos azules significan la época moderna, del siglo XV al siglo XIX. Junto a cada uno de los mapas, las tasas de mortalidad de los subadultos se tabulan, y por debajo de los mapas, los datos se representan en los gráficos de líneas.

Los datos pertinentes antropológicos se encontraron en los 109 estudios utilizados en este trabajo. En el transcurso de la investigación de más de 500 artículos científicos fueron examinados, en la mayoría de estos contienen número de individuos y no detalles adicionales tales como, números de femeninos, masculinos, y subadultos. No se encontraron datos para Extremadura y Galicia, las zonas fronterizas con Portugal puede compensar esta discrepancia. Castilla-La Mancha presenta pocos datos también. Esto es interesante, ya que estas zonas se encuentran entre las regiones menos densamente pobladas de la Península Ibérica hasta el día de hoy, éste muy bien pudo haber sido el caso en el pasado también. A pesar de ello todas las demás regiones están bien representadas en términos de resultados y están bien distribuidas espacialmente y temporalmente. Yacimientos romanos y altomedievales se observaron principalmente en las partes meridionales y costeras de la península, mientras que los yacimientos bajo medievales y modernos mostraron la distribución geográfica más uniforme. También se reunieron datos para Mallorca para incluir a las Islas Baleares en el estudio

Los datos presentados en la sección de resultados se compilaron a partir de los datos antropológicos en los anexos 1-4. Los datos que se presentan en la sección de anexos incluyen yacimientos que contenían restos humanos que se extendieron durante muchos siglos, los datos fueron omitidos a menudo o la fecha en que se toma como el período comprendido entre la fecha más temprana y más reciente dada por el yacimiento. Cuando existan vacíos en las tablas de la sección de los resultados,

los valores presentados en las tasas de mortalidad de subadultos son a menudo representados por los valores directamente encima de ellos, ya que son por lo general los casos de yacimientos que también contienen restos humanos de un período algo anterior o posterior, y por lo tanto, dados los valores mismos. Estos pueden ser examinados con más detalle en la sección de anexos.

El análisis de las tasas de mortalidad se calculó a partir de los restos humanos recuperados de los individuos subadultos menores de 19 años de edad. La falta de la composición por edad específica en gran parte de la literatura significaba que un análisis de edad en más profundidad no daría buenos resultados en particular en un análisis región por región, dado los números de yacimientos examinados en el estudio completo (118). Las tasas de mortalidad de los subadultos se calculan a partir del número total de subadultos que se encuentran en cada yacimiento como un porcentaje del número total de individuos adultos y subadultos y clasifican de acuerdo a la fecha y a la región, los datos pertinentes se tabulan en la sección de resultados.

Los datos para los individuos femeninos y los masculinos se calculan tomando por los números confirmados según de los restos recuperados y presentados como porcentaje del número total de individuos a los que se asignó un sexo. Todos los otros datos tales como subadultos que son notoriamente difíciles de asignar el sexo, alofisos, y los estudios en que sólo se menciona el número de adultos sin asignación de sexo fueron ignorados para esta parte del estudio. Una vez más hay lagunas en los datos representados en las tablas y gráficos de barras. A menudo se puede asumir que los datos que faltan se pueden representar en algún lugar entre el período de tiempo anterior o posterior, ya que estos son los casos de los yacimientos con restos que se cruzan en otro período de tiempo. En aquellos casos en los datos fueron reunidos con el fin de construir una imagen sobre tal vez un período de tres siglos de tiempo en lugar de uno, por lo que tomar un análisis de siglo se habría producido resultados pocos precios. Los números de yacimientos y los individuos examinados están en las tablas junto a cada gráfico de barras con el fin de controlar la exactitud de cada conjunto de datos.

Resultados

Todas las Muestras

Año	<19	Y	N
0	-	-	-
200	25	7	41
400	27	10	202
600	31	13	87
800	29	10	99
1000	34	13	276
1200	26	11	216
1400	41	11	294
1600	-	-	-
1800	28	11	174

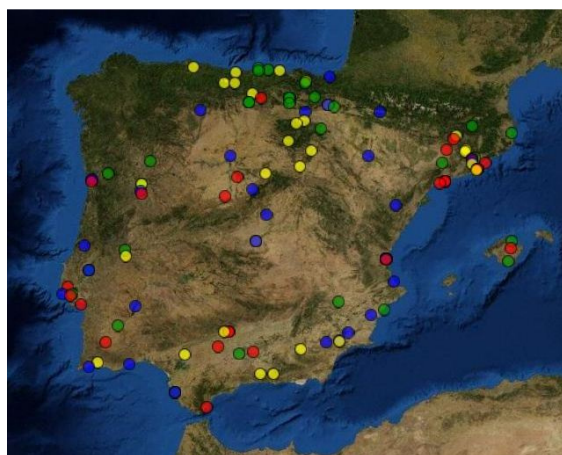
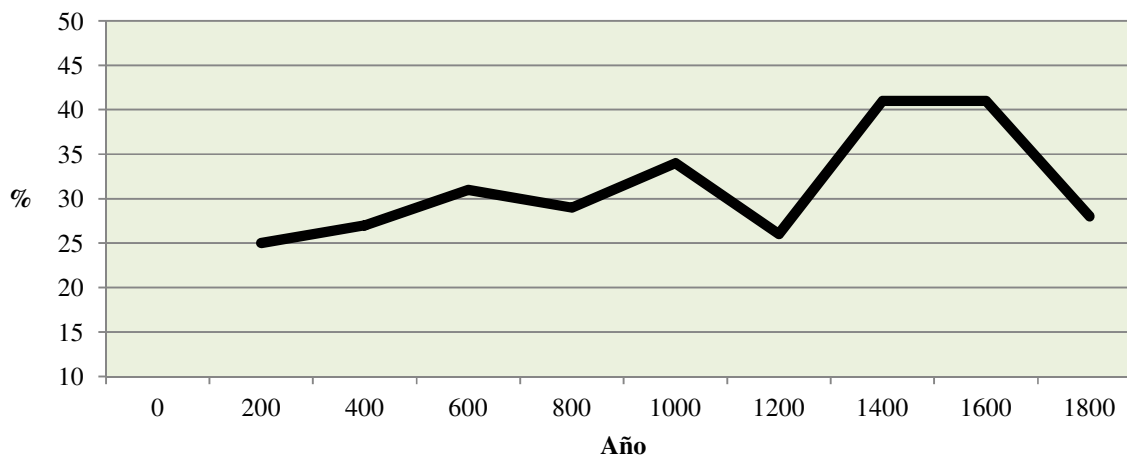


Tabla 1. % de la mortalidad de los subadultos <19 años, número de yacimientos y número de individuos

● = Rom. ● = Alt. Med. ● = Baj. Med. ● = Mod.

Grafico 1. Todas las muestras, % de la mortalidad de los subadultos



Todos los yacimientos que contenían datos antropológicos fueron analizados para obtener un panorama de la paleodemografía de la península Ibérica. Los yacimientos también están bien distribuidos geográficamente y en el tiempo, como puede verse en el mapa y representan a todos los yacimientos en los que los datos de subadultos, femeninos y masculinos fueron observados. En el gráfico 1. la tasa de mortalidad de subadultos se observó en su nivel más bajo durante el período romano con un alentador número de individuos y yacimientos durante el siglo V. Esto aumenta a medida que se avanza en la Alta Edad Media, pero con muchos menos individuos recuperados - una

característica muy común que se observa en ese período a lo largo de este estudio. Entre los siglos XI y XIII, la mortalidad de los subadultos cae, medido con confianza con >200 individuos subadultos registrados. En algún momento entre los siglos XIII y XV hay un aumento significativo en la mortalidad de subadultos (41%), superior a la cifra más alta previamente en el siglo XI (34%), una consecuencia de la peste negra durante el mediados del siglo XIV. Esta característica se observa en cada una de las regiones analizadas aunque en diferentes grados dependiendo de la ubicación. Las tasas de mortalidad de subadultos comienzan a regresar a los niveles pre siglo XIV durante el siglo XVII.

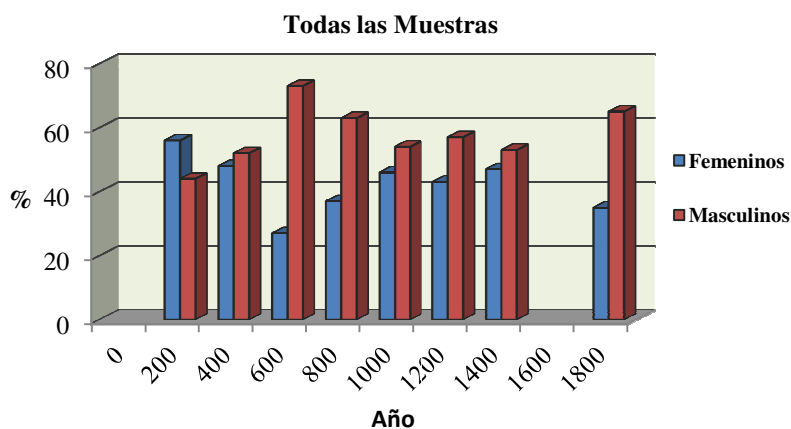


Grafico 2. % de femeninos/masculinos

Año	%F	%M	Y	N
0	-	-	-	-
200	56	44	7	80
400	48	52	2	50
600	27	73	6	106
800	37	63	3	102
1000	46	54	2	169
1200	43	57	4	161
1400	47	53	3	133
1600	-	-	-	-
1800	35	65	7	195

Tabla 2. % de femeninos/masculinos, número de yacimientos y número de individuos

Menos yacimientos arrojan datos para individuos femeninos y masculinos que subadultos, sin embargo la mayoría de los períodos de tiempo contenida más o casi 100 individuos para analizar. En aproximadamente 200 años antes de la caída del Imperio Romano más individuos femeninos que masculinos fueron desenterrados, esta cifra varía dependiendo de la región, esto se destaca en más detalle más adelante. Los porcentajes de individuos femeninos y masculinos comienzan a ser más o menos igual hacia el final de la época romana. Tras la caída del Imperio Romano, comenzamos a ver un aumento significativo en los individuos masculinos recuperados, esto continúa siendo una característica hasta el siglo IX. Las proporciones se mantienen relativamente constantes desde 1000 d.C. hasta 1600 d.C. con unos pocos más individuos masculinos recuperados. En 1800 d.C. el porcentaje de hombres que mujeres comienza a aumentar.

La Costa

Año	<19	Y	N
0	-	-	-
200	22	4	20
400	32	7	151
600	28	8	63
800	29	3	8
1000	17	2	17
1200	33	6	195
1400	43	6	148
1600	-	-	-
1800	26	8	101

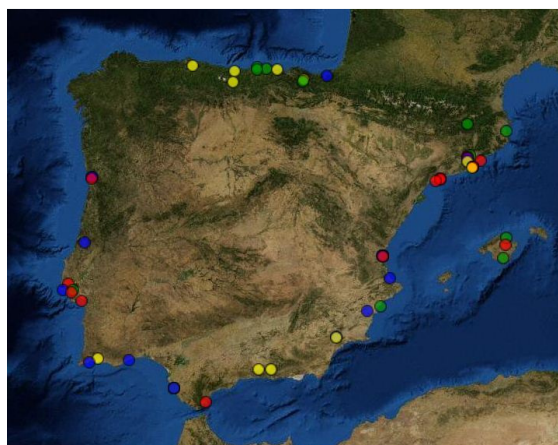
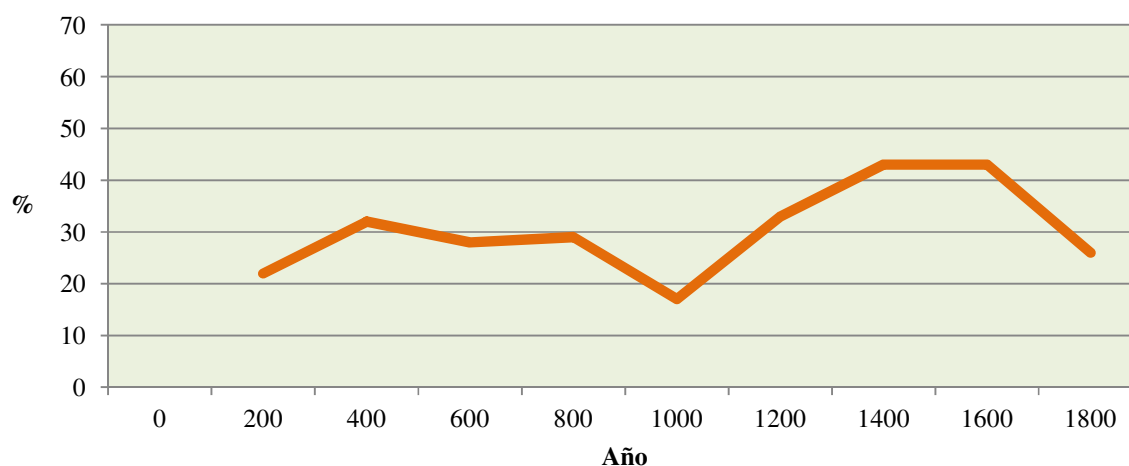


Tabla 3. % de la mortalidad de los subadultos <19 años, número de yacimientos y número de individuos

● = Rom. ● = Alt. Med. ● = Baj. Med. ● = Mod.

Gráfico 3. la Costa, % de la mortalidad de los subadultos



La región costera de esta sección se define como aquellos yacimientos encontrados en la costa y nunca más de 40 kilómetros hacia el interior. Para las tasas de mortalidad de subadultos los yacimientos costeros corroboran bien los datos de 'todas las muestras' como se representa visualmente en el gráfico 3., Hay muchas similitudes en las tendencias presentes. Sin embargo, es la única región que mostró un aumento en la mortalidad de los subadultos durante el siglo XI y en constante aumento al siglo XV, hasta el año 1600 d.C. Sin embargo, si uno mira el bajo número de individuos subadultos recuperados durante el los siglos IX (8) y XI (17), los resultados podrían ser cuestionados. Las tasas de mortalidad más bajas de los subadultos fueron observadas durante el

siglo XI, la próxima tasa más baja se registró a los 200 o más años antes de la caída del Imperio Romano. Pocos cambios se observaron entre los siglos V y IX, y los resultados de los siglos IX al XI son dudosos ya que muy pocos subadultos fueron recuperados. De nuevo, como se observa en cada región la mortalidad de subadultos se eleva en algún lugar entre los siglos XIII y XV, y disminuye de nuevo entre 1600 y 1800 d.C., para estos períodos de tiempo un número elevado de individuos subadultos fueron recuperados, así como el número de yacimientos en los que fueron encontrados.

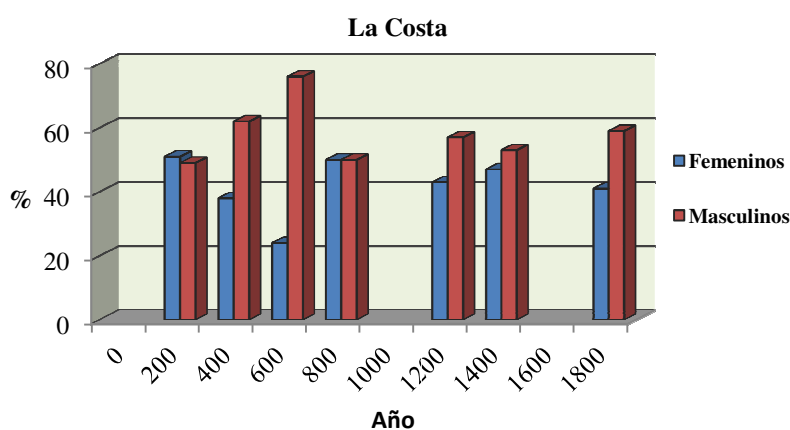


Gráfico 4. % de femeninos/masculinos

Año	%F	%M	Y	N
0	-	-	-	-
200	51	49	4	51
400	38	62	3	42
600	24	76	5	96
800	50	50	2	6
1000	-	-	-	-
1200	43	57	3	152
1400	47	53	3	125
1600	-	-	-	-
1800	41	59	6	123

Tabla 4. % de femeninos/masculinos, número de yacimientos y número de individuos

Los porcentajes de individuos femeninos y masculinos (gráfico 4. y tabla 4.) muestran algunas tendencias claras con algunos individuos femeninos más que masculinos durante el siglo III, seguido por un cambio abrupto durante el siglo V, que se hace aún más evidente durante el siglo VII (24% femeninos y 76% masculinos) Los números de individuos recuperados y los yacimientos examinados parecen adecuados para tener los datos en cuenta para ese período de tiempo. Los datos fueron muy pocos entre los siglos IX y XI, sin embargo a pesar de esto parece indicar proporciones iguales de los individuos femeninos y masculinos. Los porcentajes se mantienen relativamente constantes con unos pocos más individuos masculinos que femeninos en el siglo XIII hasta cerca de 1800 d.C., cuando vemos un mayor porcentaje de individuos masculinos que femeninos.

El Interior

Año	<19	Y	N
0	-	-	-
200	27	4	132
400	-	-	-
600	44	3	17
800	41	7	91
1000	19	4	54
1200	10	3	17
1400	41	4	89
1600	-	-	-
1800	36	5	457

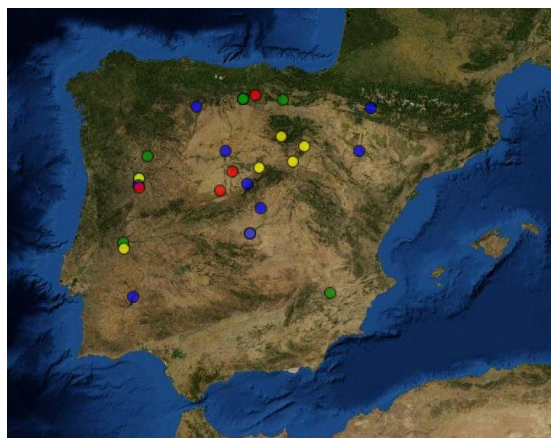
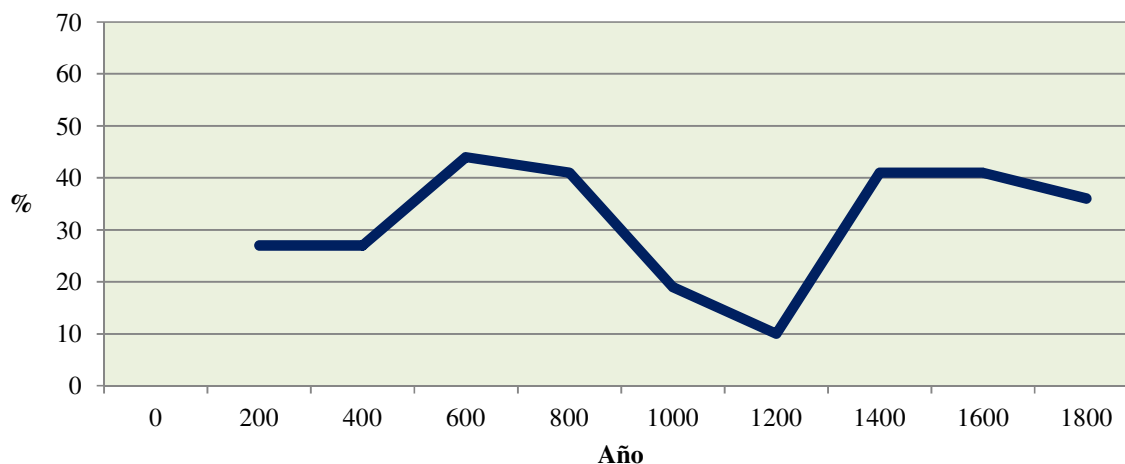


Tabla 5. % de la mortalidad de los subadultos <19 años, número de yacimientos y número de individuos

● = Rom. ● = Alt. Med. ● = Baj. Med. ● = Mod.

Gráfico 5. El Interior, % de la mortalidad de los subadultos



Como puede observarse en el mapa, el interior podría ser considerado como un buen comparación con la costa, y se encontraron diferencias interesantes entre ellos. Como se observa en el gráfico 5. durante la época romana a mortalidad de los subadultos fue 27%, en casi todas las regiones los valores fueron cercanas a esta cifra. Se eleva durante el siglo V y permanece relativamente constante hasta el siglo IX; esto se observó en cierto grado en todas las regiones examinadas. Los números de individuos encontrados faltaban en el siglo VII, que es el área negra en los datos, mencionado previamente. La mortalidad de los subadultos disminuye significativamente hasta aproximadamente el siglo XIII, aunque en ninguna parte tan dramáticamente como en el interior.

Los números de individuos parecen razonables, sin embargo, no tal vez en el siglo XIII, tales niveles bajos de mortalidad de los subadultos puede ser debido a la falta de datos. Entre los siglos XIII y XV, un aumento significativo ocurrió, disminuyendo a medida que nos acercamos a 1800 d.C., los datos eran bastante buenos durante estos períodos. En general, el interior demuestra las mayores fluctuaciones en la mortalidad de los subadultos durante los períodos de tiempo analizados.

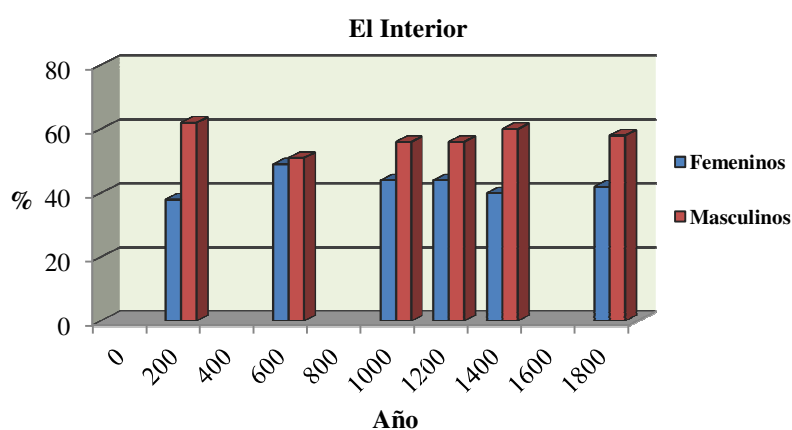


Grafico 6. % de femeninos/masculinos

Año	%F	%M	Y	N
0	-	-	-	-
200	38	62	3	29
400	-	-	-	-
600	49	51	3	123
800	-	-	-	-
1000	44	56	2	133
1200	44	56	1	9
1400	40	60	2	30
1600	-	-	-	-
1800	42	58	3	397

Tabla 6. % de femeninos/masculinos, número de yacimientos y número de individuos

Aunque hay muchas lagunas en los datos, más individuos masculinos que femeninos fueron indicados por la época romana, pero con pocos individuos recuperados, lo que puede poner la exactitud de esta en duda ya que tal fenómeno no se observó en ninguna otra región, excepto el norte. De hecho, esto puede indicar una tendencia en el Interior y del Norte, Sin embargo, sin más datos, esto no es comprobable. Más hombres que mujeres fueron observados durante el siglo III. Los porcentajes de individuos masculinos y femeninos son casi iguales durante el siglo VII, que está bien representado con el número de individuos, lo que está en marcado contraste con muchas otras regiones. Las tasas comienzan a ser más o menos constantes desde los siglos XI al XIX, con porcentajes de alrededor del 60% de individuos masculinos y 40% femeninos, otra característica común a observar a lo largo de las otras regiones.

El Norte

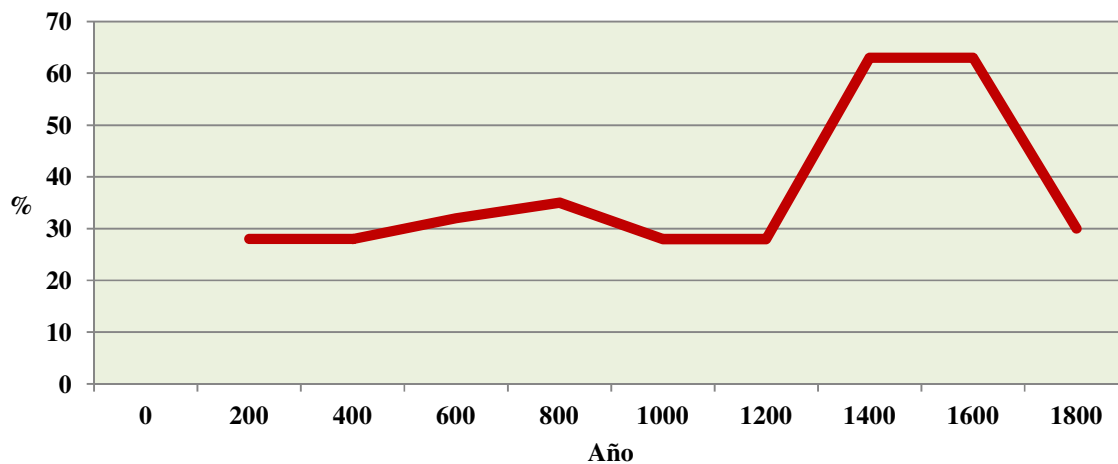
Año	<19	Y	N
0	-	-	-
200	28	3	132
400	-	-	-
600	32	4	11
800	35	8	144
1000	28	8	110
1200	-	-	-
1400	63	2	75
1600	-	-	-
1800	30	1	9



Tabla 7. % de la mortalidad de los subadultos <19 años, número de yacimientos y número de individuos

● = Rom. ● = Alt. Med. ● = Baj. Med. ● = Mod.

Grafico 7. El Norte, % de la mortalidad de los subadultos



El norte podría considerarse similar al Interior, en términos de resultados y la geografía. Durante la época romana encontramos una tasa de mortalidad de los subadultos del 28%, la cifra cercana a la época romana obtenida para prácticamente en todas las regiones, con confianza expresada con 132 individuos. Un ligero aumento se produjo entre los siglos VII y VIII, aunque la figura del siglo VII es cuestionable debido a un bajo número de individuos recuperados. Esto comienza a disminuir a medida que uno se acerca al siglo XIII, aunque no tan drásticamente como en el interior, corroborado bien con un buen número de individuos recuperados. La mortalidad de los subadultos aumenta significativamente en algún momento entre los siglos XIII y XV, con un valor de 63%

(47/75). Pero sin duda un gran aumento se ha observado y se espera que en este momento, dada la abrumadora evidencia de esta tendencia que vemos en todos los demás datos. Una reducción se produce hacia 1800 d.C. de nuevo, pero hasta qué punto esto ocurre es desconocido debido a la escasa representación de los subadultos en ese período.

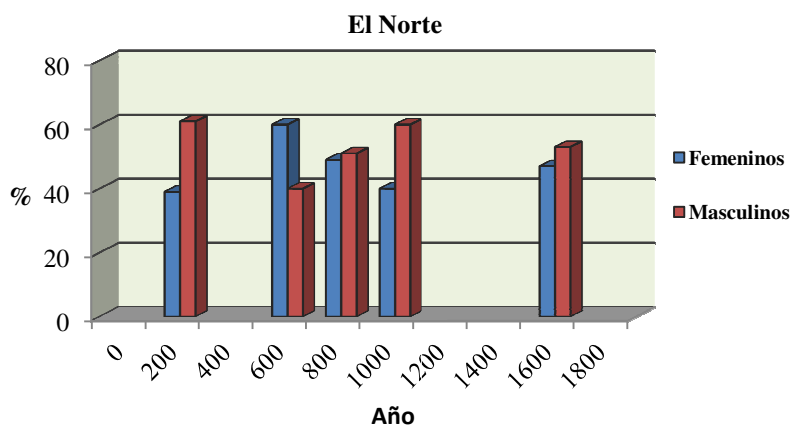


Grafico 8. % de femeninos/masculinos

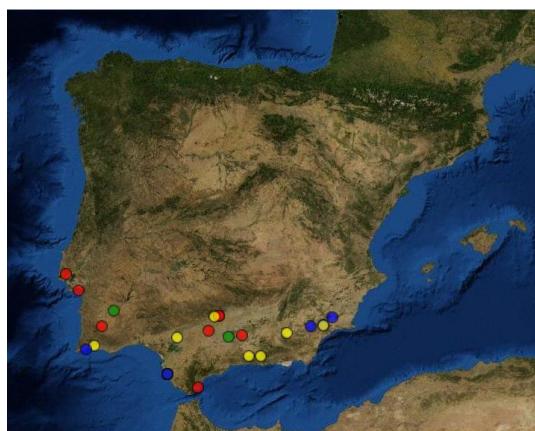
Año	%F	%M	Y	N
0	-	-	-	-
200	39	61	2	28
400	-	-	-	-
600	60	40	3	20
800	49	51	4	128
1000	40	60	4	75
1200	-	-	-	-
1400	-	-	-	-
1600	47	53	2	265
1800	-	-	-	-

Tabla 8. % de femeninos/masculinos, número de yacimientos y número de individuos

Al igual que en el interior hubo un porcentaje mayor de individuos masculinos que fueron encontrados durante la época romana que femeninos, sin embargo el número de individuos recuperados fueron pocos. La situación inversa se encontró durante el siglo VII con más individuos femeninos que masculinos, con una representación similar de pocos números de individuos. Los porcentajes se comienzan a igualar durante el siglo IX y con buenos datos. Esto es análogo a los datos para el interior, sin embargo en esa región la misma situación se produce durante el siglo VII. Esto podría indicar una tendencia en el norte y el interior entre los siglos VII y IX y los buenos datos de las dos regiones parecen apoyar esto. Un aumento en la proporción de individuos masculinos sobre los femeninos fue observado desde los XI al XIX siglos, aunque no existan los datos durante gran parte de ese tiempo.

El Sur

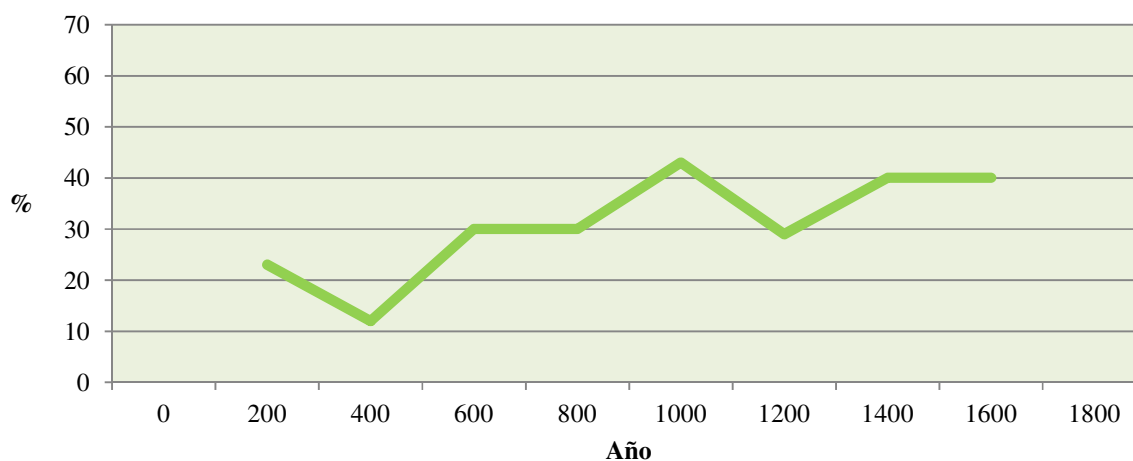
Año	<19	Y	N
0	-	-	-
200	23	7	31
400	12	5	29
600	30	3	30
800	-	-	-
1000	43	3	193
1200	29	3	60
1400	40	4	208
1600	-	-	-
1800	-	-	-



● = Rom. ● = Alt. Med. ● = Baj. Med. ● = Mod.

Tabla 9. % de la mortalidad de los subadultos <19 años, número de yacimientos y número de individuos

Grafico 9. El Sur, % de la mortalidad de los subadultos



En muchos aspectos, el sur parece tener mediciones con afinidades con; el este, el oeste y la costa. Se puede especular acerca de esta similitud, tal vez la paleodemografía se vio alterada por el acceso a las rutas comerciales, o esos lugares actuaron como centros que atrajeron a los inmigrantes más que el interior. A pesar de esto los valores de la mortalidad de los subadultos a través de los períodos de tiempo son únicos en comparación con cualquiera de las otras regiones con fluctuaciones repentinas que se puede observar como se ve en el gráfico 9. Tasas bajas de la mortalidad de subadultos fueron medidos durante la época romana, pero esto aumenta constantemente hacia el siglo el XI, sin embargo los datos del número de individuos fueron pocos

antes de ese punto. Esto disminuye en cierta medida entre los siglos XI y XIII. Las tasas volvieron a los niveles previos al siglo XI alrededor de 1400 d.C. El número de individuos registrados en 1200 y 1400 d.C. fueron 193 y 208 respectivamente. Los datos no existen entre 1600 y 1800 d.C. A falta de estudios relativos a las excavaciones de las necrópolis que data del período moderno fue una característica común en las etapas de investigación de este estudio.

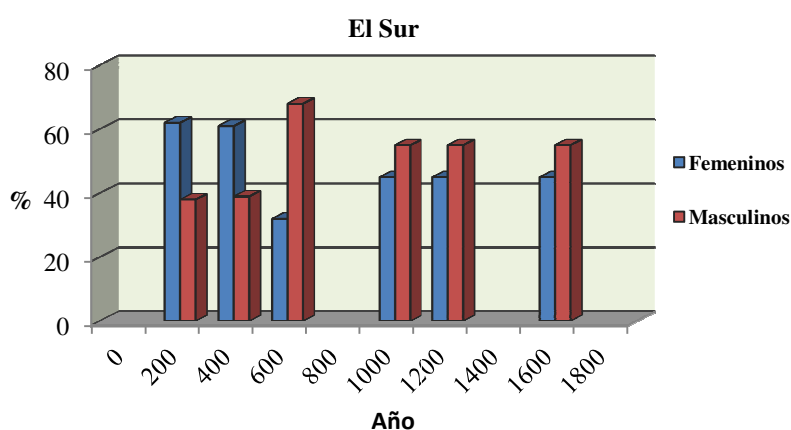


Grafico 10. % de femeninos/masculinos

Año	%F	%M	Y	N
0	-	-	-	-
200	62	38	4	52
400	61	39	3	49
600	32	68	3	111
800	-	-	-	-
1000	45	55	1	51
1200	45	55	1	22
1400	-	-	-	-
1600	45	55	1	184
1800	-	-	-	-

Tabla 10. % de femeninos/masculinos, número de yacimientos y número de individuos

Significativamente más individuos femeninos que masculinos se registraron en el sur durante la época romana, como también se ve en la costa, regiones orientales y occidentales, sin embargo, nunca hasta tal punto como se ve en el sur. Esto ocurre hasta el momento del colapso del Imperio Romano. Un cambio masivo tiene lugar durante el siglo VII con más individuos masculinos que femeninos observados, una característica que también se observa en otras regiones mencionadas previamente, pero nunca con un cambio tan grande en porcentajes en un período tan corto de tiempo. Un buen número de individuos recuperados se registraron para apoyar esto. Desde el siglo XI al siglo XVII, los porcentajes se mantienen constantes con un poco más de individuos masculinos que femeninos. No hay datos que se registraran después de ese punto como fue el caso para los datos de los subadultos.

El Este

Año	<19	Y	N
0	-	-	-
200	19	6	59
400	28	9	309
600	27	5	53
800	30	4	17
1000	33	3	22
1200	35	3	95
1400	50	2	55
1600	-	-	-
1800	38	3	86

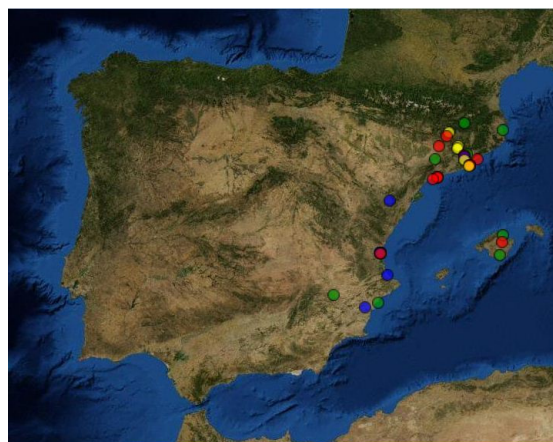
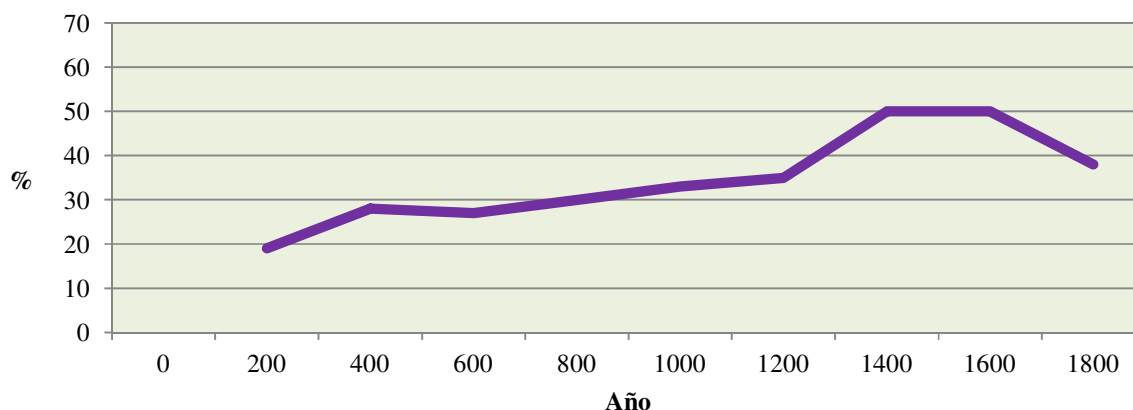


Tabla 11. % de la mortalidad de los subadultos <19 años, número de yacimientos y número de individuos

● = Rom. ● = Alt. Med. ● = Baj. Med. ● = Mod.

Grafico 11. El Este, % de la mortalidad de los subadultos



Los análisis de los yacimientos en el Este se concentraron principalmente en Cataluña, pero Mallorca, Valencia y Murcia también están representados. La mayoría de los sitios se encuentra en o cerca de la costa, este es más probable debido a los asentamientos que se encuentran en esa ubicación que eran algunos de los centros principales de la población durante el pasado y también el presente. Curiosamente los resultados para el este y el oeste mostraron muchas características en común. A lo largo de los períodos de tiempo estudiados, un buen número de individuos se registraron para el este, tal vez con la excepción de los siglos IX a XI, como se indica en tabla 11. Las tasas de mortalidad de los subadultos estuvieron en el nivel más bajo durante la época romana, con un incremento muy pequeño y gradual desde los siglos V a XIII, una característica no

observada en ninguna de las otras regiones, tal vez con la excepción del oeste. Un aumento significativo en la mortalidad de los subadultos se produce entre los siglos XIII y XV, aumentando de 35 a 50%. Como se predijo en general a lo largo de este estudio, la mortalidad de los subadultos vuelve a caer a cerca de los niveles del siglo XIII entre 1600 y 1800 d.C. hasta terminar finalmente hasta en un 38%.

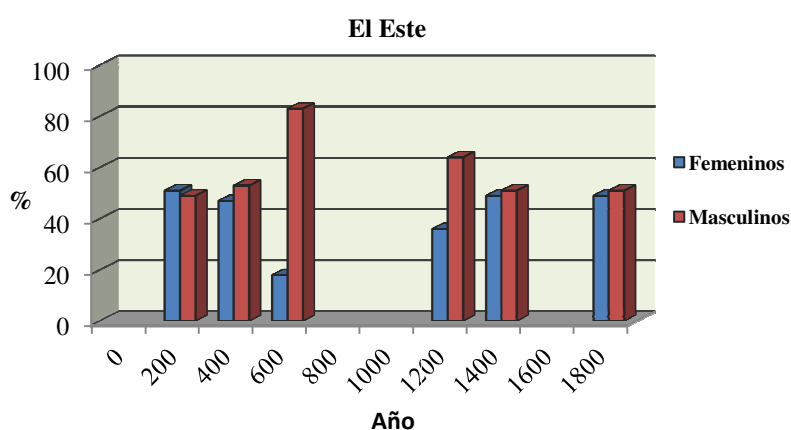


Gráfico 12. % de femeninos/masculinos

Año	%F	%M	Y	N
0	-	-	-	-
200	51	49	5	205
400	47	53	2	205
600	18	83	3	80
800	-	-	-	-
1000	-	-	-	-
1200	36	64	1	42
1400	49	51	2	45
1600	-	-	-	-
1800	49	51	3	88

Tabla 12. % de femeninos/masculinos, número de yacimientos y número de individuos

En cuanto a los porcentajes de los individuos femeninos y masculinos, El este y oeste muestran muchas similitudes. Tal como se representa en el gráfico 12. un poco más de individuos femeninos que masculinos fueron registrados durante la época romana, que cambia ligeramente con más masculinos cerca del final de la época romana, durante los siglos III y V que están bien representadas con un buen número de individuos recuperados. Comenzando en el siglo VII se produce un gran cambio, con los porcentajes, donde se encuentran; 36% femeninos y 64% masculinos. Esta fue una de las mayores diferencias en las proporciones de individuos femeninos y masculinos observados durante todo el estudio. Los datos fueron inexistentes desde el siglo IX hasta el siglo XI. Más individuos masculinos que femeninos se recuperaron durante el siglo XIII, aunque no tan evidente como los niveles del siglo VII. Las proporciones parecen tender a igualarse desde el siglo XV al siglo XIX.

El Oeste

Año	<19	Y	N
0	-	-	-
200	23	8	19
400	-	-	-
600	26	6	24
800	-	-	-
1000	26	2	36
1200	20	3	13
1400	44	6	319
1600	-	-	-
1800	34	5	164

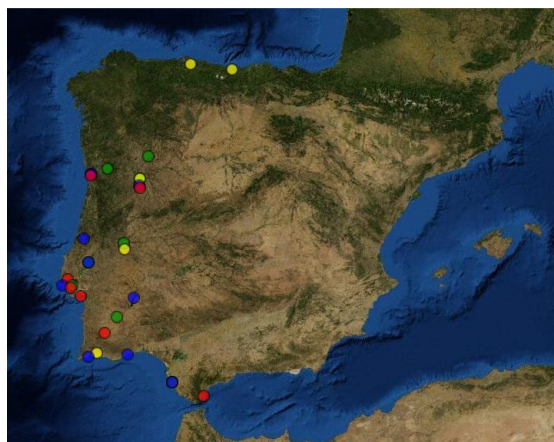
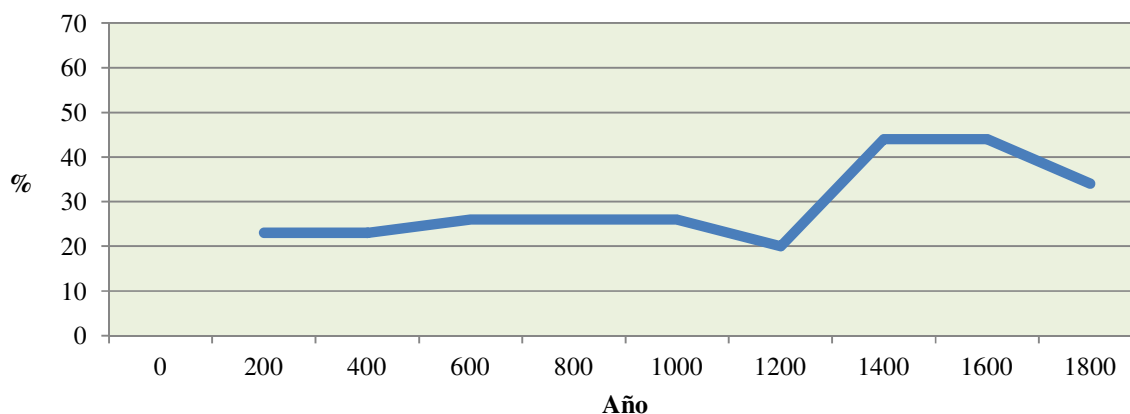


Tabla 13. % de la mortalidad de los subadultos <19 años, número de yacimientos y número de individuos

● = Rom. ● = Alt. Med. ● = Baj. Med. ● = Mod.

Grafico 13. El Oeste, % de la mortalidad de los subadultos



El Oeste se define en este estudio como yacimientos ubicados cerca del mar Atlántico de Cádiz a Asturias. Aunque la mayoría de los yacimientos fueron ubicados en Portugal, esto no es un problema a ser considerado, como fronteras nacionales no son importantes en este estudio porque son fronteras artificiales que no deberían afectar los resultados. También en este caso muchos yacimientos se han encontrado en una cierta distancia en el interior, hay que señalar que se trata de un análisis de la parte occidental de la Península Ibérica y no la costa occidental. Desafortunadamente el número de individuos se recuperaron fueron pocos en el oeste hasta alrededor del siglo XV, como se indica en tabla 13. Durante esos períodos no más de 36 personas fueron desenterrados, o faltaban datos. Al igual que en el este la mortalidad de los subadultos

aumenta muy gradualmente desde el final del imperio romano hasta el siglo XI. Un pequeño descenso se produce durante los siglos XI al XIII, hasta qué punto esto puede haber ocurrido realmente no es seguro debido al bajo número de individuos. Un gran aumento se produce entre los siglos XIII y XV, así corroborado con 319 individuos exhumados. La mortalidad de los subadultos disminuye una vez más en 1800 d.C., un hecho apoyado con buenos datos.

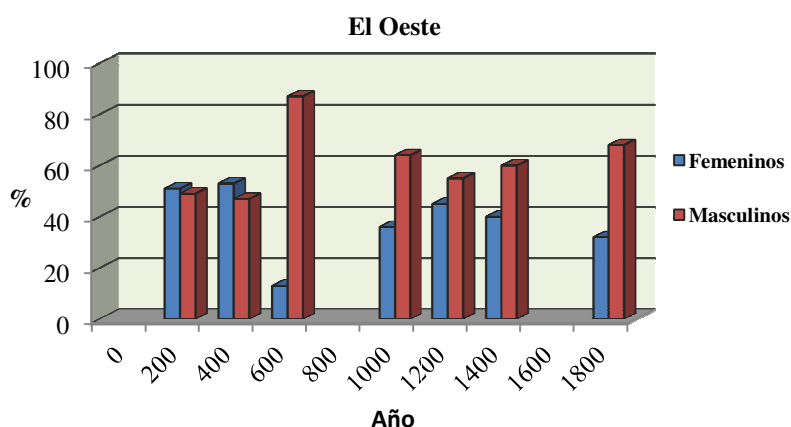


Grafico 14. % de femeninos/masculinos

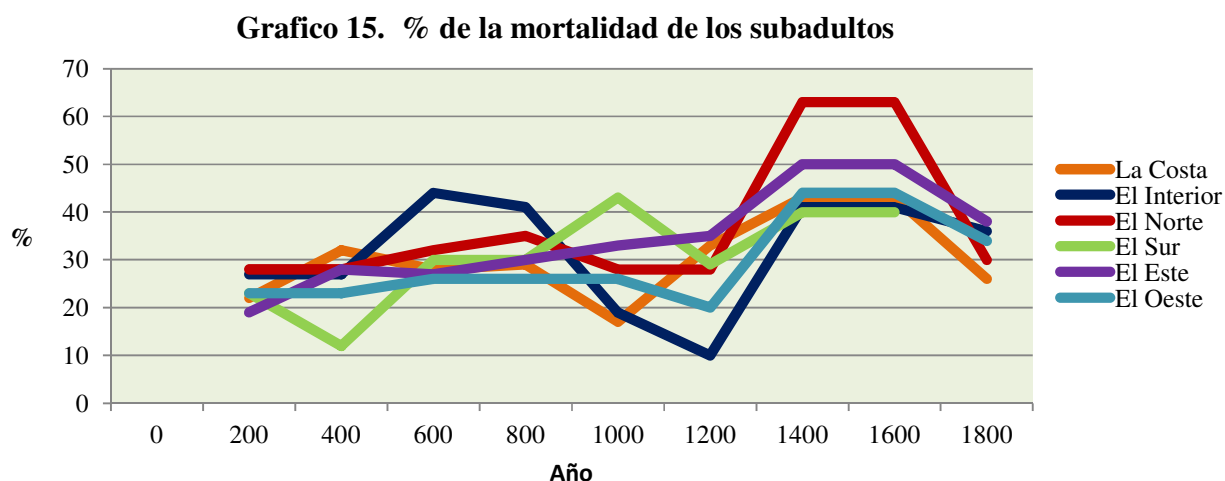
Año	%F	%M	Y	N
0	-	-	-	-
200	51	49	3	35
400	53	47	3	34
600	13	87	4	30
800	-	-	-	-
1000	36	64	1	32
1200	45	55	2	31
1400	40	60	2	168
1600	-	-	-	-
1800	32	68	3	100

Tabla 14. % de femeninos/masculinos, número de yacimientos y número de individuos

Los porcentajes de individuos femeninos y masculinos en el oeste como se destaca anteriormente muestran tendencias muy similares a los del Este. De nuevo aquí los datos para el número de individuos son pocos hasta el siglo XV. Durante la época romana entera más individuos femeninos que masculinos fueron observados, sin embargo no es tan grande como los porcentajes medidos por el sur. Esto fue seguido por el cambio más abrupto en porcentajes, con 13% femeninos y 87% masculinos, sin embargo los números de individuos fueron pocos, poniendo la exactitud de las cifras en cuestión. Desde los siglos XI y XV los porcentajes comienzan a mostrar las proporciones de aproximadamente 40% femeninos y 60% masculinos, con muy buen número de individuos recuperados sólo durante el siglo XV. Un mayor porcentaje de individuos masculinos que femeninos se observa una vez más en 1800 d.C.

Discusión

Las tasas de mortalidad de subadultos entre las distintas regiones se pueden ver desde una perspectiva diferente en gráfico 15. Por el cual todas las regiones, representados por líneas de colores diferentes, se representan junto a otros. Esto proporciona nuevas perspectivas sobre las tasas de mortalidad subadultos en lugar de buscar en el gráfico 1. (Todas las muestras).



En el caso de la época romana una mortalidad subadulto relativamente bajo se puede observar en todas las regiones. ¿Podría esto significar que las condiciones de vida eran mejores en tiempos de los romanos? Este hecho puede ser cierto debido a la sociedad más organizada que existía entonces, en contraposición a la sociedad más turbulenta que siguen. A pesar de las deficiencias de higiene urbana romana cuando se hacen comparaciones con las normas de salud pública en las modernas sociedades industrializadas occidentales, hay que decir que los romanos alcanzado un notable nivel de estandarización en la prestación de ciertos servicios básicos como letrinas y baños públicos. (Scobie, A., 1986) Sin embargo, en relación a un punto que será devuelto a finales de esta hipótesis puede ser puesta en cuestión. Una cuestión importante que hay que destacar, en relación a los ritos funerarios en el mundo romano, en especial para el tratamiento de niños. Los romanos, que a menudo recurría al infanticidio como un mecanismo de regulación de la fecundidad tiende a enterrar a los niños en el área de la casa o para abandonarlos en zonas alejadas de la metrópolis (Hope, 2009). Esto podría explicar la falta relativa de los individuos subadultos en muchos casos, pero como se ha mencionado anteriormente cadáveres infantiles a menudo no sobreviven al proceso

de degradación, independientemente del lugar donde fueron enterrados. Además de las muertes de niños pre-púberes no fueron vistos tradicionalmente como contaminante tal y como fue el caso de los adultos, mientras los cadáveres fueron enterrados o incinerados rápidamente por noche (Lindsay 2000). Además los bebés menores de cuatro días de edad podían ser enterrados en su casa, sin embargo. Áreas adecuadas para cementerios se identificaron, pero éstos fueron adaptados según sea necesario en el curso del tiempo (Cilliers, 2006). También intervenciones podrán incluir la zona arqueológica de la necrópolis asociada a los adultos solamente o incluso puede dar el caso, donde no hay un espacio dedicado a los niños entierro. La representación débil de no adultos puede explicarse por una cualquiera de estas razones.

Durante la Edad Media, era una práctica común que los niños que no fueron bautizados fueron colocados en áreas fuera de los cementerios, y por lo tanto a menudo escapan descubrimiento por los arqueólogos. Esto, en muchos aspectos no difiere en gran medida a las prácticas romanas en muchos aspectos. No obstante, un aumento de la mortalidad subadulto se observó durante el período inmediatamente posterior a la caída del Imperio Romano. Esto puede haber sido debido a cambios en las prácticas funerarias a la llegada de los visigodos. El canon dieciocho del Concilio de Braga I, del año 561, establece que los cementerios de las ciudades se encuentran fuera de sus muros. El Concilio de Braga (563) implementado leyes que prohíben el entierro de los muertos dentro de los edificios religiosos. Sin embargo, durante la Edad Media, la práctica de enterrar a los muertos bajo los templos estaba muy extendida (Cabral, 1985). Los visigodos eran cristianos arrianos que creían en que el Hijo, Cristo, había sido creado por el Padre, en lugar de ser coeterno, como la Iglesia Católica creía. No fue sino hasta el III Concilio de Toledo en el año 589 que los líderes del reino renunció formalmente el arrianismo ante los obispos católicos. (Ackermann et al., 2008). Con los visigodos, en general, la necrópolis, se supone que se encuentra no más de diez kilómetros a la redonda y no menos de quinientos metros del pueblo o centro urbano (Ripoll López, G., 1989).

El siguiente cambio importante como se observa en la mayoría de las regiones se produce a aproximadamente 1200 AD Esto puede ser el resultado del: Renacimiento del Siglo XII Que Se refiere a Una serie de Cambios Económicos, Sociales, Políticos, ideológicos y Culturales Que afrontó Europa Durante El Siglo XII. Esto incluyó el renacimiento de la ciencia occidental, que se remonta a la creciente prosperidad de Occidente en el siglo 11, que estimuló el interés en un primer

momento en los escritos romanos, y luego en una afluencia de traducciones del árabe, ambos originalmente textos griegos traducidos al árabe y de los originalmente arábigos, comenzando a finales del siglo XI. La avenida principal de la traducción científica fue España, donde muchas zonas musulmanas desarrolladas con tradiciones científicas venían bajo el dominio cristiano. Esto corrobora con las tasas de mortalidad más bajas de los subadultos observados en las regiones del sur, dominadas por los musulmanes de la Península Ibérica durante la Edad Media. Es decir condiciones sociales pueden haber sido significativamente mejor en esas regiones. Esto corrobora con las tasas de mortalidad más bajas de subadultos observados en las regiones del sur, dominaron por musulmanes durante la Edad Media. Esto es apoyado asimismo por las fluctuaciones mayores en la mortalidad subadulto visto en las regiones del norte y centro de la Península durante ese tiempo. Durante este período la crisis y posterior desintegración del Califato de Córdoba, en el año 1031, le dio una gran oportunidad a los reinos cristianos para atacar a los reinos musulmanes (las taifas). Esta expansión se vio frenada durante un tiempo después de la invasión de los almorávides, pero se llegó a un nuevo punto de equilibrio, favorable a los reinos cristianos, después de la Batalla de Navas de Tolosa, en 1212. Las ciudades importantes de Córdoba y Sevilla ya había caído en manos cristianas en 1236 y 1248, respectivamente, dejando sólo Granada, último reducto musulmán (Ackermann et al., 2008). Este fue un punto de inflexión en la reconquista y pudo haber tenido consecuencias de largo alcance en el paleodemografía y también podría explicar el descenso de la mortalidad subadulto con guerras y asedios cada vez menos frecuente. Los períodos de grandes epidemias o enfrentamientos bélicos, dejan marcas en la necrópolis que son importantes para la comprensión de la vida de una población dada, antes de que infligen mesas altas de mortalidad (Barroso Silva da Cruz, C., 2011).

Los efectos de la Muerte Negro pueden ser vistos en diferentes niveles de gravedad en las diferentes regiones. Según diversas fuentes, la tasa de mortalidad osciló entre 12 y 50 por ciento. Se estima que en Europa 20-25 millones, y en todo el mundo 42 millones de personas murieron (Ackermann et al., 2008). Esto se observa claramente en los gráficos con un aumento significativo de la mortalidad subadulto. Al principio de la época de crecimiento de la población moderna ha mantenido algunas de las características de la época medieval, como las tasas de natalidad elevadas. Las plagas, epidemias y crisis económicas, han contribuido tan importante a las altas tasas de mortalidad (Rodrigues, 1997). Los siglos XVI y XVII se caracterizaron por una disminución de la

población asociado con tiempos de guerra y sus derivados, lo que lleva estos enfrentamientos, las crisis económicas y sociales. Estas crisis han aumentado la pobreza y el hecho que la población más frágiles y susceptibles a las epidemias, como la peste, el cólera, la sífilis, la fiebre tifoidea, la difteria y la viruela, que causó estragos en todo el siglo XVII. Los niños, ya que son los más afectados por estos problemas, la mayoría de las veces fatales, comenzar ganando poco a poco una identidad anterior (Rodrigues, 2008b). El siglo XVIII se caracterizó por un mayor conocimiento médico y de higiene que se traduce, sobre todo, el nivel de los contextos funerarios. Esto es corroborado por la reducción de la mortalidad subadulto en todas las regiones en 1800 AD Durante el siglo XIX, la influencia de la ciencia médica permite el control de enfermedades que antes de eso, tienden a diezmar porcentaje importante de la población (Roberts, 2008a).

En el estudio portugués por Barroso Silva da Cruz, se encontró que los femeninos estaban representados como 40,8% [53/130]. Este fenómeno parece mostrar similitudes con este estudio a través de gran parte del tiempo después de la caída del Imperio Romano. Una explicación de esta diferencia puede estar en los resultados de la aplicación de las metodologías de determinación del sexo. Algunos de los métodos más comúnmente utilizados en la exhibición sexual diagnóstico cierto sesgo, ya que tienden a sobre-valorar los esqueletos como los hombres adultos (Arnold, 2006). En el nivel de la fisiología ósea, se debe apreciar que las mujeres, después de entrar en la menopausia, se someten a un período de pérdida de densidad ósea que, junto con dietas deficientes y estreses biomecánicas, pueden contribuir a la identificación de un número más pequeño de sujetos femeninos en la serie arqueológica (Agarwal y Beauchesne, 2001; coadjutor, 2010). Sin embargo, esto no explica la mayor proporción de mujeres recuperadas durante la época romana, sobre todo en las partes sur y este de la Península. Una posible explicación podría ser que los hombres eran más propensos a ser incinerado que las mujeres, que era el método preferente religioso de la eliminación de los muertos en el momento. Cremación de masas se realizó también en común crematorios (Bodel 2000). Plutarco (Quaestiones Convivales III.4.2) señala que los hornos crematorios incluiría por lo menos un cadáver femenino cada diez hombres, ya que el tejido más grueso hembra contribuido a elevar la temperatura (Cilliers, 2006). Esta afirmación puede apoyar la hipótesis de que las mujeres no fueron incineradas con la frecuencia que los machos durante la época romana. Esto también ayuda a explica que, en general, más mujeres que hombres se recuperaron durante la época romana. Sin embargo, esto sólo fue el caso en las regiones del Sur y del Este.

La pregunta que hay al lado se plantea es en relación con la representación mucho mayor de hombres en 600 d.C. ¿Qué Representa esto la influencia de los visigodos o los musulmanes? Todos los estudios llevados a cabo en la Península Ibérica, se han basado en el número de godos que rompió la línea de los limes del Danubio y mató al emperador Valente en 378. Esta fecha marca el famoso mítico "victoria Adhanópolis". Pero a medida que el número de individuos en ese momento oscila entre 80.000 y 200.000 individuos. Ripoll López (1989) afirma que a pesar de que no existen datos estadísticos fiables, pero que, a pesar de todo hipotético, el número de habitantes visigodos en la Península Ibérica no superó el total de 130.000 o 150.000 personas. En efecto, puede darse el caso de que estas migraciones consistieron principalmente de guerreros, pero debido a la falta de información fiable este sigue siendo desconocido. En el caso de la conquista musulmana más se conoce. El estudio realizado por Brandi Fernández (1992) describe los acontecimientos muy bien:

“En julio del año 710, el bereber Tarif ibn Mallun, al frente de unos 400 hombres desembarcó en Tarifa, Tras esta primera expedición, Tariq ibn Ziyad, pasó el estrecho con unos 12.000 hombres, en su gran mayoría bereberes. De Gibraltar', éste contingente de tropas pasó a Algeciras, y en julio del 711, tuvo lugar, junto a Wadi Lakka (probablemente río Guadalete), la batalla donde fue derrotado el ejercito visigodo. Tras la victoria de Wadi Lakka, Tariq se dirigió a Toledo. Mientras esto ocurría, Musa ibn Nusayr, desembarcaba en Algeciras con 18.000 hombres, en su mayoría árabes y sirios, en contraste con el contingente masivamente bereber que pasó a la Península con Tariq. Musa dedicó su actividad a la ocupación del suroeste peninsular, hasta reunirse con Tariq cerca de Toledo. A los cinco años del desembarco de Tariq, gran parte de la Península Ibérica era controlada, aunque de manera desigual, por los árabo-bereberes. El número de inmigrantes árabes y norteafricanos en la Península ha sido siempre objeto de polémica. Se han propuesto, para el contingente árabe, cifras desde 40.000 hasta 60.000 hombres”.

A partir de esta información se puede observar que un número significativo de individuos de sexo masculino entraron en la Península Ibérica durante la conquista. Este hecho podría explicar el aumento del número de individuos del sexo masculino recuperados. Sin embargo, debido a problemas en la datación de los sitios se observó este aumento en la proporción de hombres que ha ocurrido en algún momento entre los años 500 y 800. Desafortunadamente esto no nos proporciona los detalles para determinar que tenían el mayor efecto demográfico durante ese tiempo, el impacto de los musulmanes o los visigodos.

Referencias

1. Abad Casal, L.; Gamo Parras, B. & Gutiérrez Lloret, S. (2000) La basílica y el baptisterio de Tolmo de Minateda (Hellín, Albacete). *Archivo español de arqueología*, Vol. 73, Nº 181-182, pp. 193-222
2. Ackermann, M. E.; Schroeder, M. J.; Terry, J. J.; Lo Upshur, J. H.; & Whitters, M. F. (2008) *Encyclopedia of World History*: Infobase Publishing
3. Agarwal, S. C. Beauchesne, P. (2001) It is not craved in bone: development and plasticity of the aged skeleton. In: Agarwal, S. C. Glencross, B. A. (ed.) *Social bioarchaeology*. Oxford, Wiley-Blackwell Publishing: 312-332.
4. Antunes-Ferreira, N. & Santos Mendes, C. A. (2006) Necrópole do Sobreirinho Comunhas, freguesia de Ferreira, concelho de Macedo de Cavaleiros Campanha 3/2006 – CNS 2022 – Al-Madan IIª série, n.º 13, pp. 137-139
5. Arnold, B. 2006. Gender and archaeological mortuary analysis. In: Nelson, S. M. (ed.) *Handbook of gender in archaeology*. Boston; Oxford, Altamira Press: 137-170.
6. Assis, S. & Barbosa, R. P. (2008) A Necrópole Romana da Quinta da Torrinha / Quinta de Santo António, Monte de Caparica (III-V d.C.): Incursão ao universo funerário, paleodemográfico e morfométrico: Al-Madan Online / Adenda Electrónica. IIª Série. 16: V.
7. Assis, S.; Caldeira, D.; Gonçalves, S.; Nabo, A.; Nunes, J.; Soares, C.; Lopes, C. & Alves Cardoso, F. (2010) Um possível caso de sífilis venérea no extinto Hospital Real de Todos os Santos – Lisboa, Portugal (séc. XVIII): II Jornadas Portuguesas de Paleopatologia, Centro de Investigação em Antropologia e Saúde Departamento de Ciências da Vida, Universidade de Coimbra
8. Beguiristáin, M. A.; Etxeberria, F. & Herrasti, L. (2001) Tres tumbas de la etapa hispanogoda en Gomacín, Puente La Reina (Navarra) *Cuadernos de Arqueología Universidad de Navarra*. 9, pp. 223 – 277
9. Benedito Nuez, J.; Melchor Monserrat, J. M. & Seguí Marco J. J. (2007) Nuevas aportaciones a la necrópolis romana del sector meridional de la ciudad de "Valentia", junto a la vía Augusta. *Caesaraugusta*, Nº 78, pp. 631-644

10. Bodel, J (2000) Dealing with the dead: undertakers, executioners and potter's fields in ancient Rome. In: V.M. Hope & E. Marshall (eds.), *Death and disease in the ancient city* (London & New York: Routledge), pp. 128-51.
11. Botella Ortega, D. & Casanovas, J. (2009) El cementerio judío de Lucena (Córdoba): *Miscelánea de estudios árabes y hebraicos. Sección de hebreo*, Nº 58, pp. 3-26
12. Brandi Fernández, A. (1992) *Paleodemografía y patología dental en la población hispanomusulmana de Murcia*, s. XI-XIII: Tesis doctoral inédita. Universidad Autónoma de Madrid, Facultad de Ciencias, Departamento de Biología.
13. Cabellos, T. & Garralda, M. D. (2001) Estudio de la patología oral de la población de la C. P. Corduba: primeros resultados: VI Congreso Nacional de Paleopatología (2001) ¿Dónde estamos? pasado, presente y futuro de la Paleopatología: p. 496-504
14. Cabral, J. d. P. (1985) Os cultos da morte no Nordeste de Portugal. In: Feijó, R. G.; Martins, H. Cabral, J. d. P. (ed.) *A morte no Portugal contemporâneo: aproximações sociológicas, literárias e históricas*. Lisboa, Editorial Quercus: 65-87.
15. Caixal Mata, A. & López Mullor, A. (1987) La época medieval en la iglesia de Sant Vicenç de Rus, Castellar de N'Hug (Barcelona). Resultados de las excavaciones: II Congreso de Arqueología Medieval Española, III. Madrid, 533-544
16. Camarillo, V. F.; Compte, D.; Barrio, P. A.; Arribas, J. A.; Jori, J. & Robledo, B. (2001) Espondilopatías en poblaciones medievales españolas: VI Congreso Nacional de Paleopatología ¿Dónde estamos? pasado, presente y futuro de la Paleopatología: p. 479-489
17. Carmona Berenguer, S. (1990) La necrópolis tardorromana de "El Ruedo" (Almedinilla, Córdoba): *Anales de arqueología cordobesa*, Nº 1, pp. 155-172
18. Caro Dobón, L. & Fernández Suárez, M. E. (2006) Estudio antropológico de los restos óseos humanos de la necrópolis de San Roque (Renedo de la Inera, Palencia): *Revista del Instituto de Prehistoria y Arqueología Sautuola*, Nº 12, pp. 313-330
19. Casaca, C. & Rodrigues Ferreira F. E. (2004-05) *Necrópole da Sé Silves*: *Revista de Associação dos Arqueólogos Portugueses, Arqueologia & História* nº56/57
20. Chamberlain, A. (2006) *Demography in archaeology*. Cambridge, Cambridge University Press.
21. Cilliers, L (2006) *Burial customs and the pollution of death in ancient Rome: procedures*

- and paradoxes: Vol 26, No 2 : Supplementum 7
22. Codinha, S. (2008) Paleobiología do Material Osteológico Recuperado da Capela de Nossa Senhora do Castelo (Vila Velha de Ródão) AÇAFA On Line, nº 1: Associação de Estudos do Alto Tejo
 23. Crespo Mancho, M. J.; Garrido Barrera, M. S.; Margareto González, M. & Catalán Garrido, L. (2006) La necrópolis altomedieval de Renedo de la Inera (Palencia): Sautuola: Revista del Instituto de Prehistoria y Arqueología Sautuola, Nº 12, pp. 301-312
 24. Curate, C. (2003-04) A brucelose em paleopatologia: um estudo de caso proveniente da necrópole Cristã de Cacela Velha: Antropologia Portuguesa 20/21: 209-235
 25. Curate, F. (2010) O perímetro do declínio: osteoporose e fracturas de fragilidade em três amostras osteológicas identificadas portuguesas - séculos XIX & XX. Tese de Doutoramento em Antropologia biológica, Departamento de Ciências da Vida, Universidade de Coimbra.
 26. de Deus, M.; Vasco Oliveira, N. & Duarte, C. (2004) Sarcófago do Cerro do Favall (Ourique): intervenção de emergencia: Revista Portuguesa de Arqueologia. volume 7. número 1. p.451-465
 27. de la Cruz Peletero, L. (2009) El conocimiento de las poblaciones del pasado a través de los restos óseos: Estudio de los marcadores de actividad y estimación de la estatura de los restos recuperados de la Mezquita del Cristo de la Luz (Toledo). Universidad Autónoma de Madrid, Facultad de Ciencias: Proyecto fin de carrera, biología evolutiva y biodiversidad
 28. de la Rúa, C. (1994) Los sepulcros de la iglesia de San Pedro de Tabira (Durango): Zainak. Cuadernos de Antropología-Etnografía, Nº. 11, pp. 259-278
 29. de la Rúa, C. & Arenal, I. (1990) Antropología de una población medieval vizcaína San Juan de Momoitio. Garai: Zainak. Cuadernos de Antropología-Etnografía, Nº. 7, pp. 5-97
 30. de Miguel Ibáñez, M. P. (2008) Gestantes en contextos funerarios Altomedievales Navarros: Lucentum: Anales de la universidad de Alicante. Prehistoria, arqueología e historia antigua, ISSN 0213-2338, Nº 27, pp. 233-242
 31. de Sus Giménez, M. L. (2003) Excavación arqueológica en el Coso-Plaza España en el marco del proyecto "Nuevo Tubo-Puerta Cinegia" de Zaragoza: Salduie: Estudios de prehistoria y arqueología, Nº. 3, pp. 363-372

32. Duarte, C. (2003) *Trabalhos de Arqueologia 29 - Paleoecologia Humana e Arqueociências. Um Programa Multidisciplinar para a Arqueologia sob a Tutela da Cultura.* José E. Mateus e Marta Moreno-García, eds. Núcleo de Paleobiologia Humana. Capítulo 7. Bioantropologia
33. Espinar Moreno, M. (2001) *La alquería de Mondújar: mezquita y rabsas, cementerios, barrios y otras estructuras urbanas y rurales: Anaquel de Estudios Arabes*, pp. 277-294
34. Eralta, P. & Santos, A. L. (2007) *Paleodemografía e Patologia Oral na População Exumada da Igreja de Santiago Maior de Monsaraz*”. *Al-Madan Online / Adenda Electrónica*. IIª Série. 15: XIV.
35. Etxeberria Gabilondo, F. (1984) *Estudio de la patología ósea en poblaciones de época alto medieval en el País Vasco Santa Eulalia y los Castros de Lastra: San Sebastián* : Editorial Eusko-Ikaskuntza, D.L. 1984.
36. Fernández Conde, F. J.; Alonso Alonso G. A. & García Menéndez M. A. (1992) *La necrópolis de Santa María de Tina. En : Excavaciones arqueológicas en Asturias 1987-90. 1ª edición.* Oviedo: Servicio de Publicaciones del Principado de Asturias; p.201-209
37. Fernández Crespo, T. (2010) *Análisis antropológico de los restos humanos de la necrópolis medieval de Quintana (Leza, Álava): Munibe Antropologia - Arkeologia*, Nº 61, pp. 329-337
38. Ferreira, M. T. (2008) *Quinta de Santo António, 3ª Fase, Santa Marinha, Vila Nova de Gaia, Porto Estudo de análise antropológica. Relatório de antropología.* Styx, estudos de antropología, Lda.
39. Furtado, M. & Ferreira, M. T. (2009) *Vale de Mouro, Coriscada, Meda: Estudo de análise antropológica: Côavisão. - Vila Nova de Foz Côa: Câmara Municipal de Vila Nova de Foz Côa. - Nº 1, p. 137- 147*
40. Gallelo, G. (2008) *Aspectos de paleodieta en restos óseos de época tardoantigua hallados en la necrópolis de la Boatella en Valencia (campana 2006-2007): Archivo de prehistoria levantina*, Vol. 27, pp. 319-338
41. Garcia, S. (2005-06) *Conservação diferencial dos esqueletos humanos da série medieval de S. Martinho (Leiria): Implicações para a paleodemografía e para a paleopatologia Antropologia Portuguesa 22/23: 273-294*

42. García, E. & Subirà, M. E. (2001) Dieta y sociedad en Can Reinés (análisis de elementos traza en una necrópolis del 600 dC): *Revista española de antropología biológica* Datos Fuente: 22: 107-114, 26
43. García Matamala, B. & Liébana Mármod, J. L. (2006) Inhumaciones infantiles de tradición indígena en un sector de la necrópolis oriental de Corduba: *Anales de arqueología cordobesa*, Nº 17, 1, pp. 99-114
44. Gestoso Morote, D. & López Rodríguez, J. I. (2010) *La necrópolis altoimperial de Carteia y el mundo funerario romano*: Astarte, 2010.
45. Gil Pitarch, P.; Polo Cerda, M.; Puchalt Forte, F. J.; Negre Muñoz; M. C. & Villalaís Blanco, J. D. (1999) Estudio antropológico y paleopatológico de 31 individuos procedentes de la zona central del antiguo Calvario de Morella (1665-1812), 302-308 *Actas V Congreso Nacional AEP*, Alcalá la Real
46. Gimeno Martínez, B. & Justes Floría, J. (2003) Estudio antropológico y paleopatológico de los restos humanos exhumados en la excavación de la iglesia de San Pedro el Viejo (Jaca): *Salduie: Estudios de prehistoria y arqueología*, Nº. 3, pp. 243-255
47. Gonçalves, A. & Coelho, C. (2007) *Intervenção Arqueológica no Casal do Rebolo (Sintra): da diversidade das estruturas à larga diacronia de ocupação*". *Al-Madan Online / Adenda Electrónica*. IIª Série. 15: V.
48. Guerrero i Sala, L. & Solé i Muntané, J. (1995) *Mostratges demogràfics i paleopatològics d'unes necròpolis medievals de la Conca del Llobregat*. Gimbernat: revista catalana d'història de la medicina i de la ciència; Vol.: 24. Universitat de Barcelona
49. Guerrero i Sala, L.; Solé i Muntané, J. & Ribas Mujal, D. (1995) *Hostilidad y medio. Individuos de la necrópolis medieval de Santa María de Ivorra (La segarra, Lérida)* pp: 1-8 *Actas V Congreso Nacional AEP*, Alcalá la Real 1999
50. Guijo Mauri, J. M.; Lacalle Rodríguez, R. & López Flores, I. (1999) *Evidencias de lepra en una comunidad islámica medieval de Sevilla*. pp: 113-138 *Actas V Congreso Nacional AEP*, Alcalá la Real
51. Gutiérrez Cuenca, E. (2002) *Dataciones absolutas para la arqueología de época histórica en Cantabria: Nivel cero*: revista del grupo arqueológico Attica, Nº. 10, pp. 89-111
52. Herrasti Maciá, L.; Izquierdo, M. T.; Bandrés, A.; Albisu Andrade, C. & Etxeberria, F.

- (2007) Gabilondo Patología en los restos humanos del sondeo arqueológico realizado en el Parque de Murgia (Astigarraga, Gipuzkoa: *Munibe Antropología - Arkeologia*, Nº 58, pp. 255-273
53. Herrerín López, J. & Reyes Hernando, O. V. (2010-11) Estudio antropológico y paleopatológico de los restos humanos tardoantiguos de Las Pizarras (Coca, Segovia): *Oppidum. Cuadernos de Investigación Datos Fuente*: (6-7): 103-140
54. Hierro Gárate, J. A. (2011) La utilización sepulcral de las cuevas en época visigoda Los casos de Las Penas, La Garma y El Portillo del Arenal (Cantabria): *Munibe Antropología - Arkeologia*, Nº 62, pp. 351-402
55. Hope, V. (2009) Roman death: the dying and the dead in ancient Rome. Continuum.
56. Iglesias Bexiga, J. (2007) El conocimiento de las poblaciones del pasado a través de los restos óseos: Estudio de los restos óseos humanos exhumados en la iglesia de San Juan Bautista, Plaza de Ramales (Madrid). Universidad Autónoma de Madrid, Facultad de Ciencias: Proyecto fin de carrera, biología evolutiva y biodiversidad
57. Isidro, A., Safont, S.; Cidraque, J. M.; Vila, S. & Malgosa, A. (1999) Diagnóstico paleopatológico de una artropatía de tobillo: *Revista de Medicina y Cirugía del Pie* 13: 45-48
58. Izaguirre, N.; de la Rúa, C.; Cuende, M. & Villarroel, J. D. (1992) Indicadores de estrés a nivel dentario en la población medieval de Castros de Lastra (Caranca, Alava): *Munibe. Suplemento*, ISSN 1698-3807, Nº. 8, pp. 137-143
59. Jordana Comín, X. & Malgosa Morera, A. (2004) Variabilité morphométrique des populations historiques de la Péninsule Ibérique: *Antropo*, Vol. 7, pages 187-194
60. Jordana X & Malgosa A (2002) Terrassa, una villa medieval en la transición a la época moderna: estudio bioantropológico de la necrópolis de la Plaça Vella. *Rev. Esp. Antropol. Fís.* 23: 1-25
61. Juan, J.; López, B., Sánchez, E.; Rodríguez, H. & Caro, L. (2002) Dental Paleopathology in a Mediaeval Skeletal Sample: Necrópolis of “El Barrejo” (León, Spain). *Journal of Paleopathology* 14: 139-145
62. Jurado Gómez, J. (2007) El conocimiento de las poblaciones del pasado a través de los restos óseos: Caracterización de la estancia M1 y comparación con la habitación M4, de la

- necrópolis medieval de Veranes (S. VI-XIII, Gijón, Asturias). Universidad Autónoma de Madrid, Facultad de Ciencias: Proyecto fin de carrera, biología evolutiva y biodiversidad
63. Lage, A. (2010) Entesopatias numa amostra do Hospital da Ordem Franciscana do Porto Adelaide LAGE: II Jornadas Portuguesas de Paleopatologia, Centro de Investigação em Antropologia e Saúde Departamento de Ciências da Vida, Universidade de Coimbra
 64. Laguillo, O.; Núñez, A; Jordana, X.; Rosser, P. & Malgosa, A. (2009) Caracterización bioantropológica de una población islámica en Alicante: los enterramientos de época alto-medieval del Tossal de les Basses: Revista española de antropología física Datos Fuente: 30: 51-74, 83
 65. Lalueza Fox, C. & Pérez Pérez, A. (1992) Indicadores de estrés nutricional y patológico en series de Epoca Romana de Catalunya: Munibe. Suplemento, N°. 8, pp. 145-151
 66. Lindsay, H. (2000) Death-pollution and funerals in the city of Rome. In: V.M. Hope & E. Marshall (eds.), Death and disease in the ancient city, London & New York: Routledge, pp. 152-73.
 67. López Flores, I. (2007) Resultados antropológicos de campo de la necrópolis romana hallada en c/ Bellidos, 18 (Écija, Sevilla): Caesaraugusta, N° 78, pp. 609-630
 68. López Rosendo, E. (2010) La necrópolis de la Ermita de Santa Clara (El Puerto de Santa María, Cádiz), siglos XVI-XIX: Revista de historia de El Puerto, N°. 45, pp. 9-75
 69. Macías López M. M. (2007) Aportación Antropológica y Paleopatológica a la Arqueología Funeraria Gaditana del Siglo II A.C. Proyecto de investigación del máster en patrimonio histórico-arqueológico.
 70. Malgosa Morera, A. & Carrasco, T. (1990) Paleopatología oral y dietainterpretación de la patología dental de 112 individuos procedentes de una necrópolis talayótica mallorquina (siglos VI al II a.C.): Dynamis: Acta hispanica ad medicinae scientiarumque historiam illustrandam, N°. 10, pp. 17-38
 71. Maquedano Carrasco, B.; Rojas Rodríguez-Malo, J. M. & Sánchez Peláez, E. I. (2002) Nuevas aportaciones al conocimiento de las necrópolis medievales de la Vega Baja de Toledo (y II): Tulaytula: Revista de la Asociación de Amigos del Toledo Islámico, N°. 10, pp. 27-68
 72. Maroto Benavides, R. M. (2004) Antropología de las poblaciones Femeninas Medievales

- del Alto Ebro y Alto Duero Tesis Univ. Granada. Departamento de Antropología Social
73. Martín Rodríguez, E. M.; Cruz Sánchez, P. J.; Enríquez Sánchez, E. M. & San Gregorio Hernández, D. (2009) La necrópolis parroquial de la iglesia de San Bartolomé de Basardilla (Segovia). *Estudio Arqueo-antropológico: Estudios del Patrimonio Cultural*, N° 2, pp. 49-61
 74. Martínez Flórez, J. & Díez Ripollés, P. (2001) La Necrópolis altomedieval de Santa Coloma: VI Congreso Nacional de Paleopatología ¿Dónde estamos? pasado, presente y futuro de la Paleopatología: pp. 226-239
 75. Martínez Rodríguez, A. & Ponce García, J. (1995) Excavación arqueológica de urgencia en el subsuelo de la antigua iglesia del convento de las Madres Mercedarias (C/Zapatería-C/Cava, Lorca). *Memorias de Arqueología*, 10, p. 89-137
 76. Matias, A. & Costa, C. (2008) Pertinência da Análise Bioantropológica em Espólio Osteológico Humano Descontextualizado: o caso da necrópole da Igreja Matriz de Montalvão (Nisa)". *Al-Madan Online / Adenda Electrónica*. IIª Série. 16: XI.
 77. Matos, V. & Cunha, E. (1999) A Necrópole do Prazo no contexto das necrópoles medievais portuguesas. In *Côavisão*. Vila Nova de Foz Côa: Câmara Municipal de Vila Nova de Foz Côa, n.º 1, p. 4551. BA: 0240
 78. Menchón i Bes, J. (1998) Necrópolis altomedievales y despoblación en la provincia de Tarragona, el caso de la Conca de Barberà: *Arqueología y Territorio Medieval* Datos Fuente: (5): 5-30
 79. Miquel Feucht, M. J.; Collado Beneyto, I.; Negre Muñoz, M. C.; Gil Pitarch, P. & Villalaín Blanco J. D. (1999) Técnica de embalsamamiento cerebral: siglos XVII-XVIII. pp: 314-321 *Actas V Congreso Nacional AEP*, Alcalá la Real
 80. Morales Hernández, F. (1991) Una necrópolis de El Soto de Garray (Soria): En la España medieval, N° 14, pp. 45-76
 81. Moreda Blanco, F. J.; Vilar Labarta, S.; Serrano Noriega, R. & Carral Fernández, R. (2010-11) La necrópolis tardorromana de la villa de "El Vergel" (San Pedro de Arroyo, Avila): *Oppidum*. Cuadernos de Investigación Datos Fuente: (6-7): 141-184
 82. Neves, M. J.; Wasterlain, S. N.; Silva, A. M. & Ferreira, M. T. (2010) Patologia oral numa amostra proveniente da necrópole associada à Gafaria (sécs. XV-XVI) de Lagos (Portugal): II Jornadas Portuguesas de Paleopatologia, Centro de Investigação em Antropologia e Saúde

Departamento de Ciências da Vida, Universidade de Coimbra

83. Nuin Cabello, J.; Mateo Pérez, M. R.; Duró Cazorla, A. & Armendáriz Aznar, R. M. (2011) La necrópolis de San Martín de Montalbán. Yerri, Navarra: Trabajos de arqueología Navarra, Nº 23, pp. 161-174
84. Peralta, P. & Santos, A. L. (2007) Paleodemografía e Patología Oral na população exumada da Igreja de Santiago Maior de Monsaraz. "Al-madan". Nº 15, pp. 1-13
85. Polo, M. et al. (2001) Paleopatología durante el siglo XVIII en el rincón de Ademúz (Valencia), a través de los restos humanos hallados en la Iglesia: VI Congreso Nacional de Paleopatología (2001) ¿Dónde estamos? pasado, presente y futuro de la Paleopatología: p. 430-443
86. Prada, E.; Pastor, F.; G. Verona, J. A.; De Paz, F. J.; Domínguez, C.; & Pastor, F. (1999) Impactos por arma de fuego en los restos óseos de la cripta de la iglesia de San Agustín (Valladolid). pp: 336-339 Actas V Congreso Nacional AEP, Alcalá la Real
87. Prada Marcos, M. E. (1998) Estudio antropológico del Panteón Real de San Isidoro de León, ProMonumenta Vól. II,
88. Prada, M. E. & Caron, L. (1994) El metopismo en Palat del Rey (León) Congreso: Congreso de la Sociedad Española de Antropología Biológica. VII. 1993. Madrid Datos Fuente 306-312, 13 Título obra colectiva: Biología de poblaciones humanas: Problemas metodológicos e interpretación ecológica. Actas del VII congreso de la sociedad española de antropología biológica
89. Pujol-Bayona, A.; Rissech, C.; Prida, D. & Turbón D. (2011) Estudio bioantropológico del conjunto funerario de época tardorromana Carrer Ample 1 de Barcelona: Revista española de antropología física Datos Fuente: 32: 1-19, 44
90. Ramírez Águila, J. A.; Chumillas López, A. & Baños Serrano, J. (2007) La excavación arqueológica del atrio de la Iglesia de San Lázaro Obispo, de Alhama de Murcia: Memorias de arqueología
91. Ribera I Lacomba, A. & Soriano Sánchez, R. (1987) Enterramientos de la antigüedad tardía en Valentia. Lucentum. VI, pp. 139-164
92. Ripoll López, G. (1989) Características generales del poblamiento y la arqueología funeraria visigoda de Hispania: Espacio, Tiempo y Forma, S. I, Prehist. y Arqueol., t. 2, págs. 389-418

93. Roca de Togores C. (1999) Análisis antropológico de los restos óseos del cementerio islámico de Bab Al-Hanax (Valencia). pp: 344-348 Actas V Congreso Nacional AEP, Alcalá la Real
94. Rodrigues, T. F. (1997) População e economia: as estruturas populacionais. In: Mattoso, J. Magalhães, J. R. (ed.) História de Portugal: no alvorecer da modernidade. Lisboa, Editorial Estampa: 179-217.
95. Rodrigues, T. F. (2008a) O século XIX. In: Rodrigues, T. F. (ed.) A História da População Portuguesa. Santa Maria da Feira, Edições Afrontamento / CEPSE 327-416.
96. Rodrigues, T. F. (2008b) As vicissitudes do povoamento nos séculos XVI e XVII. In: Rodrigues, T. F. (ed.) História da população portuguesa. Santa Maria da Feira, Edições Afrontamento / CEPSE: 159-246.
97. Roig Buxó, J. (2009) Asentamientos rurales y poblados tardoantiguos y altomedievales en Cataluña (siglos VI al X) [A stampa in The archaeology of early medieval villages in Europe, a cura di Juan Antonio Quirós Castillo, Bilbao 2009 (Documentos de Arqueología e Historia), pp. 207-251
98. Salagaray García, M. T. (2007) Paleopatología dental de una muestra esquelética del área funeraria del suburbio oriental de Tarraco (siglo I-III d. C.) Universitat Internacional de Catalunya. Facultat d'Odontologia. Tesis doctoral
99. San Miguel Llamosas, C.; Muñoz Fernández, E.; Morlote, J. M. & Montes Barquín, E. R. (2003) El Yacimiento Romano-Medieval de San Juan de Maliaño (Camargo). Publicado en el volumen número II de la obra La Arqueología de la Bahía de Santander, Fundación Marcelino Botín, Santander, pp. 515-543
100. Scobie, A. (1986) Slums, Sanitation, and Mortality in the Roman World: *Klio* 68:2, 399-433
101. Seabra, A. & Silva, A. M. (2010) Os cónegos azuis: osteomielite numa amostra de esqueletos proveniente do Convento dos Lóios no Porto: II Jornadas Portuguesas de Paleopatologia, Centro de Investigação em Antropologia e Saúde Departamento de Ciências da Vida, Universidade de Coimbra
102. Serra, S. (2010) Arqueologia urbana em Beja Intervenção de salvaguarda na rede de abastecimento de água: IV Encuentro de Arqueología del Suroeste Peninsular [Recurso electrónico] / coord. by Juan Aurelio Pérez Macías, Eduardo Romero Bomba, p. 58

- 103.** Simão, P. & Silva, A. M. (2010) Fibroma não ossificante? Caso de um esqueleto medieval proveniente de Santarém: II Jornadas Portuguesas de Paleopatologia, Centro de Investigação em Antropologia e Saúde Departamento de Ciências da Vida, Universidade de Coimbra
- 104.** Tereso, S. & Silva, A. M. (2010) Possível deslocação congénita da anca num indivíduo da época Moderna de Santarém: II Jornadas Portuguesas de Paleopatologia, Centro de Investigação em Antropologia e Saúde Departamento de Ciências da Vida, Universidade de Coimbra
- 105.** Trelis Martí, J.; Ortega Pérez, J. M.; Reina Gómez, I. & Esquembre Bebia, M. A. (2009) El cementerio mudéjar del Raval (Crevillent- Alicante): *Arqueología y Territorio Medieval* 16, pp. 179 - 216
- 106.** Ulbert, T. (2003) El yacimiento paleocristiano de son Fadriñet (Campos, Mallorca): *Mayurqa: revista del Departament de Ciències Històriques i Teoria de les Arts*, N° 29, pp. 173-188
- 107.** Vega Maeso, C.; Carmona Ballester, E. & Abellán Villastrigo, M. (2008) La vida a través de la muerte en la edad medieval: necrópolis de la iglesia vieja de San Vicente de Potes (Cantabria): *Arqueología y territorio medieval*, N° 15, pp. 29-50
- 108.** Vidal Lorenzo, C. & Muñoz Cosme, G. (2007) La iglesia colegiata de Santa María de Gandía investigaciones recientes: *Caesaraugusta*, N° 78, pp. 729-738
- 109.** White, T. D. & Folkens, P. A. (2005) *The Human Bone Manual*. Oxford, Academic Press.

Anexo 1. Época Romana (Hasta Siglo V)

	Autor	Yacimiento	Ubicación	Region	Datación	NMI	Fem	Mas	F+M	Alof	Juv
1	Herrerrín López & Reyes Hernando (2010-11)	Las pizarras	Coca, Segovia	Castilla y León	Tardorrom.	42	8	13		1	20
2	Moreda Blanco, F. J. et al. (2010-11)	Villa de El Vergel	San Pedro del Arroyo, Ávila	Castilla y León	II-V	12	3	4		2	3
3	Gutiérrez Cuenca, E. (2002)	Necrópolis de Santa María de Hito	Valderredible	Cantabria	III-IV	426			317		109
4	López Flores, I. (2007)	C/ Bellidos, 18	Écija, Sevilla	Adalucía	I-II	49	14	3		13	19
5	Gestoso Morote & López Rodríguez (2010)	Carteia	San Roque, Cádiz	Adalucía	II-III	13	2	5		2	4
6	Macías López M. M. (2007)	Plaza de Asdrúbal/83	Cádiz	Adalucía	II-V	25	13	6		6	
7	Cabellos & Garralda (2001)	Colonia Patricia Corduba	Córdoba	Adalucía	II-VI	45	17	12		16	
8	Carmona Berenguer, S. (1990)	Necropolis de El Ruedo Almedinilla	Córdoba	Adalucía	IV-VI	176			147		29
9	García Matamala & Liébana Mármol (2006)	Plaza de la Magdalena	Córdoba	Adalucía	I-IV	28			22		6
10	Laluzza Fox & Pérez Pérez (1992)	Plza. Vila de Madrid	Barcelona	Cataluña	III	13	5	5		1	2
11	Pujol-Bayona, A. et al. (2011)	Carrer Ample 1	Barcelona	Cataluña	Tardorrom.	24			16		8
12	Pujol-Bayona, A. et al. (2011)	Vila de Madrid	Barcelona	Cataluña	Tardorrom.	40			19		21
13	Pujol-Bayona, A. et al. (2011)	Can Solà del Racó	Matadepera, Barcelona	Cataluña	IV-V	24			11		13
14	Pujol-Bayona, A. et al. (2011)	Vilassar de Mar	Barcelona	Cataluña	IV-V	52			36		16
15	Jordana Comín & Malgosa Morera (2004)	Sant Pere	Terrassa, Barcelona	Cataluña	Tardorrom.	208			163		45
16	Laluzza Fox & Pérez Pérez (1992)	Sotaterra	Solsona, Lérida, Barcelona	Cataluña	II-III	13	4	4		5	
17	Laluzza Fox & Pérez Pérez (1992)	Guisqona	Lérida, Barcelona	Cataluña	I-III	7	1	3		1	2
18	Salagaray García, M. T. (2007)	Tarraco y el Cap de San Pere	Salou, Tarragona	Cataluña	I-III	53	16	9		15	13
19	Pujol-Bayona, A. et al. (2011)	Prat de la Riba	Tarragona	Cataluña	Tardorrom.	155			107		48
20	Isidro, A. et al. (1999)	Más Riambáu/Más Mallol	Tarragona	Cataluña	II-VI	387			233	3	151
21	Laluzza Fox & Pérez Pérez (1992)	Necrópolis de Tarragona	Tarragona	Cataluña	III-V	189	100	77		7	5
22	Benedito Nuez, J. et al. (2007)	C/ de San Vicente - C/ Mesón de Teruel	Valencia	Valencia	II-VI	11			5	4	2
23	Gallelo, G. (2008)	Necrópolis de la Boatella	Valencia	Valencia	Tardorrom.	33	16	12		3	2
24	Malgosa Morera & Carrasco (1990)	S'Illot des Porros	Santa Margarida, Mallorca	Islas Baleares	VI-I a.C.	219	79	79		21	40
25	Ferreira, M. T. (2008)	Quinta de Santo António	Santa Marinha, Vila Nova de Gaia	Porto	III-V	5		1		3	1
26	Furtado & Ferreira (2009)	Vale de Mouro	Coriscada, Meda, Guarda	Beira	III-IV	1		1			
27	Assis & Barbosa (2008)	Quinta da Torrinha/Quinta de S. António	Monte da Caparica	Setúbal	III-V	25	5	7			13
28	Duarte, C. (2003)	Depósito funerário infantil em ânfora	Proveniente de Tróia, Setúbal	Lisboa	IV	1				1	
29	Gonçalves & Coelho (2007)	Casal do Rebolo	Sintra	Lisboa	II-III	13	3	6		3	1
30	de Deus, M. et al. (2004)	Sarcófago do Cerro do Favall	Ourique, Beja	Alentejo	IV-V	1		1			

Anexo 2. Época Altomedieval (Siglos VI-X)

	Autor	Yacimiento	Ubicación	Region	Datación	NMI	Fem	Mas	F+M	Alof	Juv
1	Maroto Benavides, R. M. (2004)	Villanueva de Soportilla	Miranda de Ebro, Burgos	Castilla y León	IX-XII	115	32	35		6	42
2	Crespo Mancho, M. J. et al. (2006)	Necrópolis de Renedo de la Inera	Aguilar de Campoo, Palencia	Castilla y León	IX-XII	43	14	14		3	12
3	Caro Dobón & Fernández Suárez (2006)	Iglesia románica de San Roque	Renedo de la Inera, Palencia	Castilla y León	IX-XII	43	14	14		3	12
4	Abad Casal, L. et al. 2000	Tolmo de Minateda	Hellín, Albacete	Castilla-La Mancha	VIII-IX	10			2		8
5	Hierro Gárate, J. A. (2011)	Cueva de Las Penas	Mortera, Piélagos	Cantabria	VI-VIII	13	3	4		1	5
6	Hierro Gárate, J. A. (2011)	La Garma	Omoño, Ribamontán al Monte	Cantabria	VI-VIII	5			2		3
7	Hierro Gárate, J. A. (2011)	Cueva del Portillo del Arenal	Velo, Piélagos (Camargo)	Cantabria	VI-VIII	11	6	3			2
8	Beguiristáin, M. A. et al. (2001)	Gomacin, Puente la Reina	Navarra	Navarra	VI-VIII	5	3	1			1
9	de la Rúa, C. (1994)	Iglesia de San Pedro de Tabiria	Durango, Vizcaya	País Vasco	IX	13	3	2		2	6
10	Fernández Crespo, T. (2010)	Ordoñana	Álava	País Vasco	Alt Medieval	44			26		18
11	Pujol-Bayona, A. et al. (2011)	Los Castros de Lastra	Caranca, Álava	País Vasco	IX	45			24		21
12	Etxeberria Gabilondo, F. (1984)	Santa Eulalia	Labastida, Alava	País Vasco	IX-X	57			48		9
13	Izaguirre, N. et al. (1992)	Castros de lastra	Caranca, Valle de Valdegovía Alava	País Vasco	IX	56			32		24
14	Macías López M. M. (2007)	solar del Teatro de Andalucía/95	Cádiz	Adalucía	II-VIII	16		15			1
15	Botella Ortega & Casanovas (2009)	Ronda Sur	Lucena, Córdoba	Adalucía	X-XI	113	34	54			25
16	Lalueza Fox & Pérez Pérez (1992)	Ampurias	Gerona	Cataluña	III-VIII	28	10	11		1	6
17	Roig Buxó, J. (2009)	Plaça Major	Castellar del Vallès, Barcelona	Cataluña	VI-VII	17			11		6
18	Caixal Mata & López Mullor (1987)	La Iglesia de Sant Vicençde Rus	Castellar de N'Hug, Barcelona	Cataluña	950-1106	30			24		6
19	Menchón i Bes, J. (1998)	Necrópolis del Comestany	Belltall, Tarragona	Cataluña	Alt Medieval	3			2		1
20	Ribera I Lacomba & Soriano Sánchez (1987)	Calle de la mar	Valencia	Valencia	III-VII	14	4	8			2
21	Laguillo, O. et al. (2009)	Tossal de les Basses	Alicante	Valencia	VII-X	14			12		2
22	Ulbert, T. (2003)	Son Fadrinet	Campos, Mallorca	Islas Baleares	VI	51		47			4
23	García & Subirà (2001)	Can Reinés	Alcudia, Mallorca	Islas Baleares	VII	88			53		35
24	Duarte, C. (2003)	Necrópole paleocristã do Casal São Brás	Braga	Braga	VII-VIII	13	3	3		1	6
25	Codinha, S. (2008)	Capela de Nª Srª do Castelo	Vila Velha de Ródão, Castelo Branco	Beira	VII	25			10		15
26	Matos & Cunha (1999)	Necrópole do Prazo	Freixo de Numão, Guarda	Beira	V-IX	10			10		
27	Duarte, C. (2003)	Rua dos Correeiros	Lisboa	Lisboa	IX	1		1			
28	Antunes-Ferreira & Santos Mendes (2006)	Necrópole do Sobreirinho	Comunhas, Freguesia de Ferreira	Alentejo	VI-VII	4			2		2
29	Simão & Silva (2010)	Necrópole medieval da Rua dos Barcos	Sta. Iria da Ribeira de Santarém	Alentejo	IX-XI.	147			147		
30	Serra, S. (2010)	Beja	Beja	Alentejo	IX-X	18	1	7		6	4

Anexo 3. Época Bajomedieval (Siglos XI-XIV)

	Autor	Yacimiento	Ubicación	Region	Datación	NMI	Fem	Mas	F+M	Alof	Juv
1	Maroto Benavides, R. M. (2004)	San Baudelio de Berlanga	Soria	Castilla y León	XI	53	14	18		7	14
2	Morales Hernández, F. (1991)	El Soto de Garray	Soria	Castilla y León	XII-XIV	19				13	6
3	Jordana & Malgosa (2002)	Necrópolis de Sepúlveda	Segovia	Castilla y León	XII-XIV	140			134		6
4	Maroto Benavides, R. M. (2004)	El Castillo	Palacios de la Sierra, Burgos	Castilla y León	X-XIII	145	44	57		18	26
5	Juan, J. et al. (2002)	El Barrejo	Cordiñanes, León	Castilla y León	XII-XIII	27				25	2
6	Maquedano Carrasco, B. et al. (2002)	Paseo del Circo Romano	Toledo	Castilla-La Mancha	XI	29			21		8
7	San Miguel Llamosas, C. et al. (2003)	Necrópolis de San Julián de Liendo	Barrio de Villanueva, Liendo,	Cantabria	XII	71			60		11
8	Gutiérrez Cuenca, E. (2002)	Necrópolis de Santa Olalla	Celada Marlantes, En medio	Cantabria	XIII-XIV	15			15		0
9	Vega Maeso, C. et al. (2008)	Iglesia vieja de San Vicente de Potes	Comarca de Liébana	Cantabria	X-XI	18	4	3		3	8
10	Jurado Gómez, J. (2007)	Veranes	Gijón	Asturias	VI-XIII	85	8	14		33	30
11	Fernández Conde, F. J. et al. (1992)	Santa María de Tina	Ribadedeva	Asturias	XII-XIV	22			20		2
12	de la Rúa & Arenal (1990)	San Juan de Momoitio	Garai, Vizcaya	País Vasco	XI-XIII	109			62	2	45
13	Maroto Benavides, R. M. (2004)	San Millán de la Cogalla	Logroño, La Rioja	La Rioja	X-XI	29	1	26			2
14	Martínez Flórez & Díez Ripollés (2001)	Santa Coloma	La Rioja	La Rioja	X-XII	43	17	2		14	10
15	Nuin Cabello, J. et al. (2011)	Necrópolis de San Martín de Montalbán	Yerri, Navarra	Navarra	XIII	16			6	8	2
16	de Miguel Ibáñez, M. P. (2008)	Baza	Granada	Adalucía	XI-XII	179			115		64
17	Pujol-Bayona, A. et al. (2011)	La Torrecilla	Granada	Adalucía	IX-XIV	141			95		46
18	Espinar Moreno, M. (2001)	Cerrillo de Mondújar	Granada	Adalucía	XIV	38			30		8
19	Guijo Mauri, J. M. et al. (1999)	Sevilla	Sevilla	Adalucía	XII	175			88		87
20	Prada Marcos, M. E. (1998)	Colegiata de San Isidoro	Córdoba	Adalucía	X-XIII	93	23	28			42
21	Guerrero i Sala & Solé i Muntané (1995)	Capella dels claustrs	Seu de Manresa, Barcelona	Cataluña	XI	26			16		10
22	Jordana & Malgosa (2002)	Necrópolis Montjuïc	Barcelona	Cataluña	XI-XIV	113			86		27
23	Guerrero i Sala & Solé i Muntané (1995)	Església de Sant Pere d'Or	Santpedor, Barcelona	Cataluña	XII	34			25		9
24	Guerrero i Sala & Solé i Muntané (1995)	Necrópolis de la plaça del Dr. Guardiet	Rubí, Barcelona	Cataluña	XIII	82			47		35
25	Guerrero i Sala, L. et al. (1995)	Santa María de Ivorra	La Segarra, Lérida, Barcelona	Cataluña	XI	6			3		3
26	Roca de Togores C. (1999)	Bab Al-Hanax	Valencia	Valencia	XI-XIV	75	15	27			33
27	Brandi Fernández, A. (1992)	San Nicolás	Lorca, Murcia	Murcia	XI-XIII	664			482		182
28	Matias & Costa (2008)	Necrópole do Prazo	Freixo de Numão, Guarda	Beira	IX-XIII	51			45		6
29	Matias & Costa (2008)	Necrópole da Igreja Matriz de Montalvão	Nisa, Portalegre	Alentejo	XIII-XIV	14	4	5			5
30	Casaca & Rodrigues Ferreira (2004-05)	Necrópole da Sé Silves	Faro	Algarve	XIII – XIV	29	10	12		1	6

Anexo 4. Época Moderna (Siglos XV-IX)

	Autor	Yacimiento	Ubicación	Region	Datación	NMI	Fem	Mas	F+M	Alof	Juv
1	Iglesias Bexiga, J. (2007)	Iglesia de San Juan Bautista	Plaza de Ramales, Madrid	Madrid	XIII-XIX	75			50		25
2	Martín Rodríguez, E. M. et al. (2009)	Iglesia de San Bartolomé de Basardilla	Segovia	Castilla y León	XII-XVII	51	10	7		2	32
3	Prada, E. et al. (1999)	La Iglesia de San Agustín	Valladolid	Castilla y León	XIX	143	19	53			71
4	Prada & Caron (1994)	Palat	León	Castilla y León	XII-XVIII	245	121	124			0
5	de la Cruz Peletero, L. (2009)	Mezquita del Cristo de la Luz	Toledo	Castilla-La Mancha	XIII-XIX	529			329		200
6	Herrasti Maciá, L. et al. (2007)	Parque de Murgia	Astigarraga, Gipuzkoa	País Vasco	XVIII-XIX	30	4	16		1	9
7	Fernández Crespo, T. (2010)	Quintana	Leza, Álava	País Vasco	XII-XVI	115			42		73
8	Nuin Cabello, J. et al. (2011)	Necrópolis de San Martín de Montalbán	Yerri, Navarra	Navarra	XIV-XVII	4			2		2
9	de Sus Giménez, M. L. (2003)	Puerta Cinegia, Calle del Coso	Zaragoza	Aragón	XIV-XV	12			12		
10	Gimeno Martínez & Justes Floría (2003)	San Pedro el Viejo	Plaza de San Pedro, Jaca	Aragón	XI-XVI	16	2	11		1	2
11	Camarillo, V. F. et al. (2001)	Xarea	Almería	Adalucía	IX-XV	229	83	101		3	42
12	López Rosendo, E. (2010)	Ermita de Santa Clara	Cádiz	Adalucía	XV-XIX	86			86		
13	Jordana & Malgosa (2002)	Capilla del Sant Esperit	Plaça Vella de Terrassa, Barcelona	Cataluña	XVI-XVII	189	38	38	33	3	77
14	Gil Pitarch, P. et al. (1999)	Calvario de Morella	Els Ports, Castellón	Valencia	XIII-1665	31	3	5		10	13
15	Trelis Martí, J. et al. (2009)	El Cementario de Mudéjar del Raval	Crevillent, Alicante	Valencia	XIV-XVI	79	19	18			42
16	Polo, M. et al. (2001)	Rincón de Ademúz	Valencia	Valencia	XVII-XVIII	10	2	2			6
17	Vidal Lorenzo & Muñoz Cosme (2007)	Iglesia colegiata de Santa María de Gandía	Gandía, Valencia	Valencia	XVI-XVII	26			23		3
18	Martínez Rodríguez & Ponce García (1995)	Iglesia del Convento de Madres Mercedarias	Lorca, Murcia	Murcia	XVI-XVIII	6	2	1			3
19	Ramírez Águila, J. A. et al. (2007)	Iglesia de San Lázaro	Alhama de Murcia	Murcia	XIV-XV	7			2		5
20	Lage, A. (2010)	Hospital da Ordem Franciscana	Porto	Porto	XVIII	26	3	16		4	3
21	Seabra & Silva (2010)	Convento dos Lóios	Porto	Porto	XVI	75			56		19
22	Matos & Cunha (1999)	São Pedro de Marialva	Guarda	Beira	XV	137			82		55
23	García, S. (2005-06)	Série medieval de S. Martinho	Leiria	Leiria	XIII-XVI	157	40	48		6	63
24	Assis, S. Et al. (2010)	Hospital Real de Todos os Santos	Lisboa	Lisboa	XVIII	14	1			13	
25	Tereso & Silva (2010)	Necrópole do Largo Cândido dos Reis	Santarém	Alentejo	XVI-XVIII	80			80		
26	Peralta & Santos (2007)	Igreja de Santiago Maior de Monsaraz	Évora	Alentejo	XIII-XVIII	271	28	52	30		161
27	Curate, C. (2003-04)	Necrópole Cristã de Cacula Velha	Faro	Algarve	XIII-XVI	74			53		21
28	Neves, M. J. Et al. (2010)	Necrópole associada à Gafaria	Lagos	Algarve	XV-XVI	12			12		